

**Министерство образования и науки Российской Федерации**  
ФЕДЕРАЛЬНОЕ ГОСУДАРСТВЕННОЕ АВТОНОМНОЕ ОБРАЗОВАТЕЛЬНОЕ УЧРЕЖДЕНИЕ ВЫСШЕГО ОБРАЗОВАНИЯ

**«САНКТ-ПЕТЕРБУРГСКИЙ НАЦИОНАЛЬНЫЙ  
ИССЛЕДОВАТЕЛЬСКИЙ УНИВЕРСИТЕТ ИНФОРМАЦИОННЫХ  
ТЕХНОЛОГИЙ, МЕХАНИКИ И ОПТИКИ»**

**МАГИСТЕРСКАЯ ДИССЕРТАЦИЯ**

**«Исследование зависимости вероятности ошибки на блок от спектра  
графа Таннера для кодов с малой плотностью проверок на четность»**

Автор: Ковшаров Антон Павлович \_\_\_\_\_

Направление подготовки (специальность): 01.04.02 Прикладная математика и  
информатика

Квалификация: Магистр

Руководитель: Буздалов М.В., канд. техн. наук \_\_\_\_\_

**К защите допустить**

Зав. кафедрой Васильев В.Н., докт. техн. наук, проф. \_\_\_\_\_

«\_\_» \_\_\_\_\_ 20\_\_ г.

Санкт-Петербург, 2017 г.

**Студент** Ковшаров А.П. **Группа** М4239 **Кафедра** компьютерных технологий  
**Факультет** информационных технологий и программирования

**Направленность (профиль), специализация** Технологии проектирования и разработки программного обеспечения

**Консультанты:**

а) Кудряшов Б.Д., докт. техн. наук, профессор \_\_\_\_\_

б) Бочарова И.Е., канд. техн. наук, доцент \_\_\_\_\_

Квалификационная работа выполнена с оценкой \_\_\_\_\_

Дата защиты \_\_\_\_\_ «    » июня 2017 г.

Секретарь ГЭК \_\_\_\_\_ Принято: «    » \_\_\_\_\_ 20\_\_ г.

Листов хранения \_\_\_\_\_

Демонстрационных материалов/Чертежей хранения \_\_\_\_\_

**Министерство образования и науки Российской Федерации**  
ФЕДЕРАЛЬНОЕ ГОСУДАРСТВЕННОЕ АВТОНОМНОЕ ОБРАЗОВАТЕЛЬНОЕ УЧРЕЖДЕНИЕ ВЫСШЕГО ОБРАЗОВАНИЯ  
**«САНКТ-ПЕТЕРБУРГСКИЙ НАЦИОНАЛЬНЫЙ  
ИССЛЕДОВАТЕЛЬСКИЙ УНИВЕРСИТЕТ ИНФОРМАЦИОННЫХ  
ТЕХНОЛОГИЙ, МЕХАНИКИ И ОПТИКИ»**

**УТВЕРЖДАЮ**

Зав. каф. компьютерных технологий  
докт. техн. наук, проф.  
\_\_\_\_\_ Васильев В.Н.  
«\_\_» \_\_\_\_\_ 20\_\_ г.

**ЗАДАНИЕ  
НА МАГИСТЕРСКУЮ ДИССЕРТАЦИЮ**

**Студент** Ковшаров А.П. **Группа** М4239 **Кафедра** компьютерных технологий  
**Факультет** информационных технологий и программирования **Руководитель** Буздалов  
Максим Викторович, канд. техн. наук, научный сотрудник Университета ИТМО

**1 Наименование темы:** Исследование зависимости вероятности ошибки на блок от спектра графа Таннера для кодов с малой плотностью проверок на четность

**Направление подготовки (специальность):** 01.04.02 Прикладная математика и информатика

**Направленность (профиль):** Технологии проектирования и разработки программного обеспечения

**Квалификация:** Магистр

**2 Срок сдачи студентом законченной работы:** «31» мая 2017 г.

**3 Техническое задание и исходные данные к работе.**

В рамках работы требуется исследовать зависимость между спектром графа Таннера МППЧ-кода и его эффективностью при декодировании. Для проведения исследования необходимо разработать эффективный алгоритм вычисления спектра, позволяющий провести отбор кодов с хорошим спектром среди широкого спектра сгенерированных кодов. Также необходимо разработать итеративный декодер, позволяющий измерить эффективность кода посредством симуляции передачи кодовых слов через канал с шумом.

**4 Содержание магистерской диссертации (перечень подлежащих разработке вопросов)**

- а) Обоснование важности установления зависимости между спектром и эффективностью для исследования и отбора МППЧ-кодов;
- б) Разработка и реализация итеративного декодера для быстрой оценки эффективности кода посредством моделирования;
- в) Разработка и реализация алгоритма подсчета спектра графа Таннера;
- г) Описание плана исследования. Порядок отбора кодов для проведения тестирования;
- д) Результаты исследования.

**5 Перечень графического материала (с указанием обязательного материала)**

Не предусмотрено

## 6 Исходные материалы и пособия

- а) Б.Д.Кудряшов. Основы теории кодирования;
- б) М.Холл. Комбинаторика;
- в) D.J.C. MacKay. Encyclopedia of Sparse Graph Codes.  
<http://www.inference.phy.cam.ac.uk/mackay/codes/data.html>.

## 7 Календарный план

№№ пп.	Наименование этапов магистерской диссертации	Срок выполнения этапов работы	Отметка о выполнении, подпись руков.
1	Ознакомление с основами теории кодирования	12.2015	
2	Ознакомление с имеющимся набором программ для исследования и отбора МППЧ-кодов	05.2016	
3	Ознакомление с существующими итеративными декодерами	07.2016	
4	Разработка и реализация итеративного декодера заточенного под нужды исследования	09.2016	
5	Ознакомление с существующими подходами подсчета спектра кода	11.2016	
6	Разработка и реализация алгоритма подсчета спектра графа Таннера МППЧ-кода	12.2016	
7	Проведение исследования зависимости эффективности кода от спектра	03.2017	
8	Написание пояснительной записки	05.2017	

**8 Дата выдачи задания:** «01» сентября 2015 г.

Руководитель \_\_\_\_\_

Задание принял к исполнению \_\_\_\_\_ «01» сентября 2015 г.

**Министерство образования и науки Российской Федерации**  
ФЕДЕРАЛЬНОЕ ГОСУДАРСТВЕННОЕ АВТОНОМНОЕ ОБРАЗОВАТЕЛЬНОЕ УЧРЕЖДЕНИЕ ВЫСШЕГО ОБРАЗОВАНИЯ  
**«САНКТ-ПЕТЕРБУРГСКИЙ НАЦИОНАЛЬНЫЙ**  
**ИССЛЕДОВАТЕЛЬСКИЙ УНИВЕРСИТЕТ ИНФОРМАЦИОННЫХ**  
**ТЕХНОЛОГИЙ, МЕХАНИКИ И ОПТИКИ»**

**АННОТАЦИЯ**  
**МАГИСТЕРСКОЙ ДИССЕРТАЦИИ**

**Студент:** Ковшаров Антон Павлович

**Наименование темы работы:** Исследование зависимости вероятности ошибки на блок от спектра графа Таннера для кодов с малой плотностью проверок на четность

**Наименование организации, где выполнена работа:** Университет ИТМО

**ХАРАКТЕРИСТИКА МАГИСТЕРСКОЙ ДИССЕРТАЦИИ**

**1 Цель исследования:** Исследование возможности применения спектров графов Таннера как критерия эффективности МППЧ-кодов.

**2 Задачи, решаемые в работе:**

- а) разработка и реализация эффективного алгоритма вычисления спектра графа Таннера;
- б) проведение исследования зависимости эффективности кода от спектра графа Таннера;
- в) формулировка критерия оценки эффективности МППЧ-кода.

**3 Число источников, использованных при составлении обзора:** 12

**4 Полное число источников, использованных в работе:** 16

**5 В том числе источников по годам**

Отечественных			Иностраных		
Последние 5 лет	От 5 до 10 лет	Более 10 лет	Последние 5 лет	От 5 до 10 лет	Более 10 лет
1	0	1	5	2	7

**6 Использование информационных ресурсов Internet:** 0

**7 Использование современных пакетов компьютерных программ и технологий:** C++, CUDA C — для создания итеративного декодера. Python и zsh скрипты для автоматизация исследования. Java — алгоритм подсчета спектра. Python, matplotlib, pandas — обработка и визуализация результатов.  $\LaTeX$ , Git.

**8 Краткая характеристика полученных результатов:** В результате была продемонстрирована зависимость между спектром графа Таннера и эффективностью кода. Разработан вычислительно эффективный алгоритм подсчета спектра графа Таннера. Результаты могут быть использованы для ускорения поиска эффективных МППЧ-кодов.

**9 Гранты, полученные при выполнении работы:** Грантов или других форм государственной поддержки и субсидирования в процессе работы не предусматривалось.

**10 Наличие публикаций и выступлений на конференциях по теме работы:**

- 1 *Ковшаров А., Кудряшов Б.* Исследование зависимости вероятности ошибки на блок от спектра графа Таннера для МППЧ-кодов // Сборник тезисов докладов конгресса молодых ученых. Электронное издание. — 2017.
- 2 *Ковшаров А., Анохина И.* LDPC-codes frame error rate and Tanner's graph spectrum correlation research // Сборник тезисов докладов конгресса молодых ученых. Электронное издание. — 2017.

Выпускник: Ковшаров А.П. \_\_\_\_\_

Руководитель: Буздалов М.В. \_\_\_\_\_

« \_\_\_ » \_\_\_\_\_ 20\_\_ г.

## ОГЛАВЛЕНИЕ

ВВЕДЕНИЕ .....	5
1. Общие сведения .....	7
1.1. Линейные коды .....	7
1.2. МППЧ-коды .....	8
1.3. Граф Таннера .....	8
1.4. Квазициклические МППЧ-коды .....	9
1.5. Описание ансамблей МППЧ-кодов .....	11
1.5.1. Ансамбль Галлагера .....	11
1.5.2. Ансамбль Ричардсона-Урбанке .....	11
1.5.3. Ансамбль квазициклических кодов .....	12
2. Декодер .....	14
2.1. Количество кодовых слов при моделировании .....	15
2.2. Построение порождающей матрицы по проверочной .....	16
2.3. Алгоритм декодирования .....	18
2.3.1. LLR-SPA .....	19
2.3.2. LLR-SPA как алгоритм обмена сообщениями .....	23
2.4. Реализация алгоритма декодирования на GPU .....	25
2.5. Подсчет эффективности кода .....	27
3. Алгоритм подсчета спектра графа Таннера .....	31
3.1. Веса как символьные переменные .....	36
3.2. Фиксированные веса .....	36
3.3. Алгоритм .....	41
3.4. Оценка сложности .....	42
3.5. Сравнение с другими алгоритмами .....	43
4. Численный анализ влияния спектров циклов на вероятность ошибки декодирования .....	44
4.1. Описание эксперимента .....	44
4.1.1. Проверка гипотезы без ограничений на спектр .....	45
4.1.2. Проверка гипотезы с фиксированным префиксом спектра ..	49
ЗАКЛЮЧЕНИЕ .....	52
СПИСОК ИСПОЛЬЗОВАННЫХ ИСТОЧНИКОВ .....	53

## ВВЕДЕНИЕ

Коды с малой плотностью проверок на четность (МППЧ-коды) в последнее время стали одной из самых популярных конструкций для построения эффективных кодов, в первую очередь из-за простого декодирования по принципу распространения доверия [1], которое хорошо поддается распараллеливанию. Таким образом, МППЧ-коды приходится рассматривать только вместе с алгоритмом декодирования.

Однако использование декодирования по принципу распространения доверия приводит к трудности оценки эффективности определенного кода. В случае большинства кодов главной характеристикой оценки эффективности является минимальное расстояние, ведь именно оно определяет сколько ошибок может быть исправлено кодом. В случае МППЧ-кода — это не так, так как минимальное расстояние кода не говорит о том сколько ошибок может быть исправлено алгоритмом декодирования и лучше ли код с большим минимальным расстоянием, чем код у которого это расстояние меньше.

Удобным представлением для анализа и описания МППЧ-кодов, в частности записи алгоритма декодирования как алгоритма из семейства алгоритмов обмена сообщениями, является граф Таннера [2].

Исходя из конструкции алгоритма декодирования, интуиция подсказывает, что большой обхват и малое число коротких циклов в графе Таннера положительно сказываются на эффективности итеративного декодирования. Утверждение о том, что большая величина обхвата (минимальная длина цикла в графе) соответствует более эффективным кодам считается общеизвестным и активно используется [2]. Хочется предложить обобщенный критерий оценки эффективности, основанный не только на величине обхвата, но и на числе циклов различных длин (спектре) в графе Таннера.

Существует множество подходов для подсчета циклов определенной длины в графе [3, 4]. Однако большинство алгоритмов подсчета циклов имеют ad-hoc структуру и способны находить только число циклов с малой длиной. Нахождение циклов с большей длиной является вычислительно сложной задачей [5, 6]. Например, задача существования гамильтонова цикла является подзадачей нахождения числа циклов определенной длины. Некоторые из подходов ограничиваются нахождением циклов длины менее двух обхватов [7, 8].



В рассмотренном подходе предлагается производить подсчет схожего циклам комбинаторных объектов, число которых равно числу циклов при длине до двух обхватов в графе, но может быть посчитано гораздо эффективнее. Новый подход имеет простое описание и низкую вычислительную сложность.

Посчитанный спектр предлагается использовать в качестве критерия поиска хороших МППЧ-кодов. В работе [9] были приведены два примера: в одном из которых код, имеющий меньше циклов минимальной длины значительно превосходит второй код в эффективности, а во втором код имеющий больший обхват оказывается существенно хуже кода с меньшим, за счет регулярности расположения циклов. Разумеется, данный критерий не может быть использован безусловно в отрыве от остальных критериев. В данной работе будет выдвинута и доказана гипотеза, что в среднем, согласно критерию лексикографического сравнения спектров, код с меньшим спектром оказывается эффективнее кода с большим.

Существуют и другие критерии для поиска хороших МППЧ кодов, например, ACE [10] или поиск, так называемых, trapping sets [11]. В любом случае, все сводится к анализу структуры циклов графа.

Поиск эффективных МППЧ-кодов — вычислительно сложная задача. Наша задача — посредством разработки различных критериев оценки эффективности ускорить поиск. В данной работе предложен новый критерий оценки эффективности, обусловлена его состоятельность и предложен алгоритм для его подсчета.

## ГЛАВА 1. ОБЩИЕ СВЕДЕНИЯ

### 1.1. Линейные коды

*Определение 1.* Линейным двоичным  $(n, k)$ -кодом называется любое  $k$ -мерное подпространство пространства всевозможных двоичных векторов длины  $n$ .

*Определение 2.* Отношение  $R = k/n$  называется скоростью линейного  $(n, k)$  кода.

*Определение 3.* Порождающей матрицей линейного  $(n, k)$ -кода называется матрица размера  $k \times n$ , строки которой его базисные векторы.

*Пример 4.*

$$G = \begin{pmatrix} 1 & 0 & 1 \\ 1 & 0 & 0 \end{pmatrix}$$

задает код 000, 101, 100, 001.

*Определение 5.* Двоичный вектор  $\mathbf{h}$  длины  $n$  для которого все кодовые слова некоторого  $(n, k)$  кода  $C = \{\mathbf{c}_i\}$ ,  $i = 0, \dots, 2^k - 1$  удовлетворяют тождеству

$$(\mathbf{c}_i, \mathbf{h}) = 0, i = 0, \dots, 2^k - 1$$

называется проверкой по отношению к коду  $C$ .

Заметим, что предыдущее определение проверки эквивалентно

$$G \cdot \mathbf{h}^T = 0$$

так как для выполнения тождества для любого кодового слова достаточно выполнения тождества для базисных векторов.

*Определение 6.* Пространство проверок называется ортогональным линейному коду или проверочным пространством.

*Теорема 7.* Размерность проверочного пространства линейного  $(n, k)$ -кода равна  $r = n - k$ .

*Определение 8.* Проверочной матрицей линейного  $(n, k)$ -кода называется матрица размера  $r \times n$ , строки которой составляют базис проверочного пространства.

Для проверочной и порождающей матрицы выполнено следующее соотношение

$$G \cdot H^T = 0$$

Если же принятая последовательность  $\mathbf{y}$  из-за шума в канале перестала быть кодовым словом, то, соответственно

$$\mathbf{s} = \mathbf{y} \cdot \mathbf{H}^T \neq 0$$

и  $\mathbf{s}$  называется *синдромом* вектора  $\mathbf{y}$ , неравенство нулевому вектору которого указывает на ошибки в принятой последовательности  $\mathbf{y}$ .

## 1.2. МППЧ-коды

Линейный код может быть задан проверочной матрицей  $H$ .

Галлагер [12] предложил идею выбора матрицы  $H$  разреженной (с малой плотностью) для уменьшения сложности кодирования и декодирования: в матрице должно быть мало единиц, строки и столбцы не должны иметь большое число общих элементов. Он также подкрепил свою идею анализом с использованием метода случайного декодирования.

Для интуитивного понимания почему малое число единиц приводит к более эффективному декодированию следует заметить, что в случае, когда строки проверок мало зависят друг от друга, декодирование может производиться методом проб и ошибок. Суть метода заключается в подборе последовательности символов, исправление которых будет уменьшать вес синдрома с каждой следующей попыткой.

Используемый алгоритм декодирования, описанный далее, существенно опирается на факт, что влияние конкретного столбца на синдром не сильно зависит от остальных столбцов.

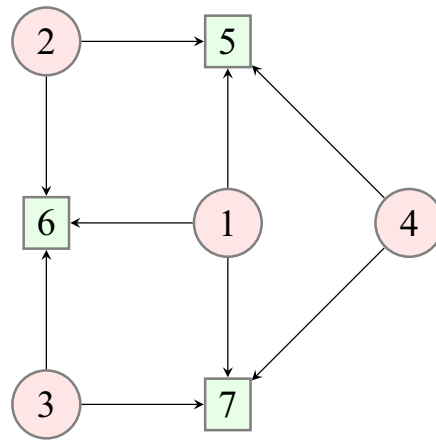
*Определение 9.* МППЧ-код называется  $(J, K)$ -регулярным если его проверочная матрица  $H$  содержит ровно  $J$  единиц в каждом столбце и ровно  $K$  единиц в каждой строке. Иначе МППЧ-код называется *иррегулярным*.

## 1.3. Граф Таннера

МППЧ-коды представляют интерес только в совокупности с алгоритмом декодирования — алгоритмом распространения доверия. Основной характеристикой эффективности линейного кода является минимальное расстояние. Из-за используемого алгоритма декодирования минимальное расстояние МППЧ-кода не может служить критерием сравнения эффективности различных кодов.

Еще Галлагер заметил связь МППЧ-кодов с циклами определенного графа, после чего большая работа в этом направлении была проделана Таннером.

$$\begin{array}{cccc|c}
 \color{red}{1} & \color{red}{2} & \color{red}{3} & \color{red}{4} & \\
 \hline
 (1 & 1 & 0 & 1) & \color{green}{5} \\
 (1 & 1 & 1 & 0) & \color{green}{6} \\
 (1 & 0 & 1 & 1) & \color{green}{7}
 \end{array}$$

(a) Проверочная матрица  $H$ 

(b) Граф Таннера

Рисунок 1 – Пример графа Таннера

*Определение 10.* (Определение 11.2 из книги [2]) Графом Таннера линейного кода, заданного проверочной матрицей  $H = \{h_{ij}\}; i = 1, \dots, r; j = 1, \dots, n$  называется двудольный граф, одно множество узлов которого соответствует множеству проверочных соотношений (проверочные узлы), другое — множеству кодовых символов (символьные узлы). Символьный узел  $c_i$  связан ребром с некоторым проверочным узлом  $s_j$  , если  $i$ -й кодовый символ входит в  $j$ -ю проверку, иными словами, если элемент  $h_{ij}$  проверочной матрицы не равен нулю.

#### 1.4. Квазициклические МППЧ-коды

$P_M^i$  — квадратная матрица порядка  $M$ , полученная из единичной сдвигом строк вправо  $i$  раз. Например:

$$P_3^0 = \begin{pmatrix} 1 & 0 & 0 \\ 0 & 1 & 0 \\ 0 & 0 & 1 \end{pmatrix} \quad P_3^1 = \begin{pmatrix} 0 & 1 & 0 \\ 0 & 0 & 1 \\ 1 & 0 & 0 \end{pmatrix} \quad P_3^2 = \begin{pmatrix} 0 & 0 & 1 \\ 1 & 0 & 0 \\ 0 & 1 & 0 \end{pmatrix}$$

Матрицы  $P_M^i$  содержат одинаковые элементы на всех диагоналях параллельных главной — такие матрицы называются *циркулянтными матрицами* или *циркулянтами*.

*Определение 11.* МППЧ-код называется квазициклическим, если для некоторого натурального числа  $M$  циклический сдвиг любого кодового слова на  $M$  также является кодовым словом.

С помощью перестановки строк и столбцов порождающая и проверочная матрицы квазициклического МППЧ-кода могут быть представлены в виде

блочной матрицы, состоящей из нулевых матриц и матриц циркулянтов размера  $M \times M$ .

$$H_B = \begin{pmatrix} 1 & 0 & 0 \\ 1 & 0 & 1 \\ 0 & 1 & 0 \end{pmatrix} \quad H = \begin{pmatrix} P_M^{\mu_{11}} & 0 & 0 \\ P_M^{\mu_{21}} & 0 & P_M^{\mu_{23}} \\ 0 & P_M^{\mu_{32}} & 0 \end{pmatrix} \quad (1)$$

Таким образом квазициклический код с проверочной матрицей размера  $(rM, nM)$  может быть построен из проверочной матрицы размера  $(r, n)$  меньшего кода с помощью подстановки вместо элементов базовой матрицы нулевых блоков и блоков вида  $P^i$  (см. рис. 1).

Если рассматривать графы Таннера, соответствующие этим кодам — такой метод построения большего графа называется методом *лифтинга* или *расширения*. Граф, соответствующий исходному коду, называется *базовым графом* или *протографом*.

Пусть  $G_B = \{V_B, E_B\}$  — базовый граф с множеством вершин  $\{V_B\}$  и ребер  $\{E_B\}$ .  $\Gamma = \{\gamma\}$  — множество вычетов по модулю положительного целого числа  $M$ , которое также называется *коэффициентом расширения*. Сопоставим каждому ребру базового графа элемент из  $\Gamma$ . Тем самым получим *размеченный граф* или *граф напряжений* (voltage graph).

*Определение 12.* (Определение 11.4 из книги [2]) Расширенным графом называется граф  $G = \{E \in E_b \times \Gamma, V_B \times \Gamma\}$ , в котором две вершины  $(v, \gamma)$  и  $(v', \gamma')$  связаны ребром  $e$  в том случае, если вершины  $v$  и  $v'$  связаны ребром в базовом графе  $G_B = \{E_B, V_B\}$  и этому ребру присвоена метка (напряжение)  $\gamma - \gamma'$ .

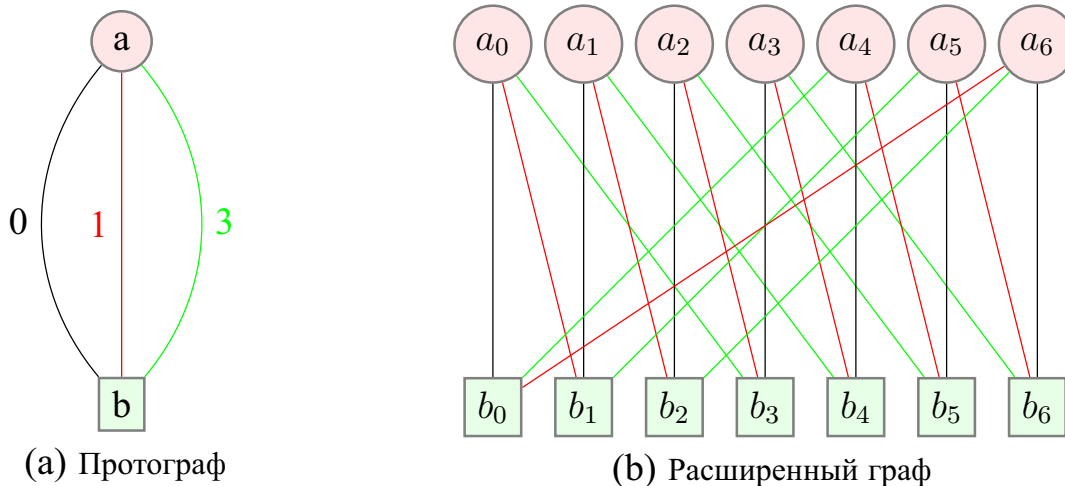


Рисунок 2 – Пример лифтинга

На рис. 2 представлен пример протографа и расширенного графа для матриц из выражения 2.

$$H_B = \begin{pmatrix} 1 & 1 & 1 \\ 1 & 1 & 1 \end{pmatrix} \quad H = \begin{pmatrix} P_7^0 & P_7^0 & P_7^0 \\ P_7^0 & P_7^1 & P_7^3 \end{pmatrix} \quad (2)$$

### 1.5. Описание ансамблей МППЧ-кодов

Генерация случайных матриц заданного размера с фиксированным числом единиц в строках и столбцах для задания регулярного МППЧ-кода может производиться различными способами. В данной работе были рассмотрены следующие ансамбли кодов.

#### 1.5.1. Ансамбль Галлагера

Матрицы в ансамбле Галлагера состоят из полос с фиксированным числом строк в каждой. Каждый столбец полосы содержит ровно одну единицу. Таким образом число полос равно весу столбца.

Например, рассмотрим (3,6)-код,  $M = 4$ . Такой код состоит из 6 полос, каждая из которых состоит из  $M = 4$  строк. Первая строка имеет вид

$$(1 \ 1 \ 1 \ 1 \ 1 \ 1 \ 0 \ 0 \ 0 \ 0 \ 0 \ 0 \ 0 \ 0 \ 0 \ 0 \ 0 \ 0 \ 0 \ 0 \ 0 \ 0 \ 0 \ 0)$$

Остальные  $M - 1$  строк этой полосы — сдвиги первой строки на 6 позиций. Таким образом строится первая полоса. Оставшиеся 2 полосы — случайные перестановки первой полосы.

В результате получен (24,12)-код, он же (3,6)-регулярный МППЧ-код.

#### 1.5.2. Ансамбль Ричардсона-Урбанке

В ансамбле Ричардсона-Урбанке все (3,6)-регулярные коды равновероятны.

Рассмотрим способ на примере того же (24,12)-кода. Возьмем последовательность (номера строк единиц):

$$(1 \ 1 \ 1 \ 1 \ 1 \ 1 \ 2 \ 2 \ 2 \ 2 \ 2 \ 2 \ 3 \ 3 \ 3 \ 3 \ 3 \ 3 \ \dots \ 12 \ 12 \ 12 \ 12 \ 12 \ 12)$$

Возьмем случайную перестановку чисел этой последовательности. Берем первые  $J = 3$  числа, скажем 7, 3, 11. Они указывают номера строк единиц первого столбца. Берем еще 3 числа и находим второй столбец и так далее.

Этот способ не гарантирует регулярность кода, так как на одной позиции может оказаться две единицы, и, таким образом, столбец будет содержать меньше, чем  $J$  строк с единицами. Это оказалось существенно при проведении экспериментов. Матрицы, в которых столбец содержит меньше  $J$  строк с единицами, более разряженные, и, соответственно, их граф Таннера содержит меньше циклов. Такие матрицы становятся лучшими согласно спектру, но вполне ожидаемо показывают довольно плохие результаты при моделировании.

Таким образом, был рассмотрен немного модифицированный ансамбль Ричардсона-Урбанке, который контролировал регулярность кода, отбрасывая иррегулярные МППЧ-коды. Так как регулярные коды составляют значительную часть кодов из ансамбля Ричардсона-Урбанке, данная модификация незначительно увеличивает время генерации.

### 1.5.3. Ансамбль квазициклических кодов

Построение кодов из ансамбля квазициклических кодов осуществляется с помощью той же разметки некоторой «базовой» матрицы и последующей замены элементов матрицы блоками циркулянтами, как было описано в разделе о квазициклических МППЧ-кодах.

В качестве базовой матрицы берется матрица из всех единиц, например, матрица размера  $(3,6)$ , после чего к ней применяется случайная разметка числами  $\mu_{ij}$  из кольца по модулю  $M$ , где  $M$  коэффициент расширения:

$$H_1 = \begin{pmatrix} 1 & 1 & 1 & 1 & 1 & 1 \\ 1 & 1 & 1 & 1 & 1 & 1 \\ 1 & 1 & 1 & 1 & 1 & 1 \end{pmatrix} \begin{pmatrix} \mu_{11} & \mu_{12} & \mu_{13} & \mu_{14} & \mu_{15} & \mu_{16} \\ \mu_{21} & \mu_{22} & \mu_{23} & \mu_{24} & \mu_{25} & \mu_{26} \\ \mu_{31} & \mu_{32} & \mu_{33} & \mu_{34} & \mu_{35} & \mu_{36} \end{pmatrix}$$

После элементы  $H_1$  заменяются на соответствующие блоки циркулянты, и получается матрица из ансамбля квазициклических кодов  $H_B$ :

$$H_B = \begin{pmatrix} P_M^{\mu_{11}} & P_M^{\mu_{12}} & P_M^{\mu_{13}} & P_M^{\mu_{14}} & P_M^{\mu_{15}} & P_M^{\mu_{16}} \\ P_M^{\mu_{21}} & P_M^{\mu_{22}} & P_M^{\mu_{23}} & P_M^{\mu_{24}} & P_M^{\mu_{25}} & P_M^{\mu_{26}} \\ P_M^{\mu_{31}} & P_M^{\mu_{32}} & P_M^{\mu_{33}} & P_M^{\mu_{34}} & P_M^{\mu_{35}} & P_M^{\mu_{36}} \end{pmatrix}$$

Таким образом, при построении матриц заданного размера из ансамбля квазициклических кодов процедура разметки и лифтинга применяется дважды: для создания базовой матрицы и матрицы заданного размера из базовой.



## ГЛАВА 2. ДЕКОДЕР

Проведение экспериментального исследования зависимости эффективности итеративного декодирования от некоторого критерия подразумевает моделирование передачи информации через канал с шумом посредством кодирования информации определенным МППЧ-кодом и последующим декодированием с помощью итеративного декодера.

Критерий, основанный на спектре циклов графа Таннера, побуждает к проведению исследования на иррегулярных МППЧ-кодах. Еще одним фактором не в пользу скорости декодирования является размер кода — который должен быть выбран в соответствии с длинами кодов, используемыми на практике, которые достаточно велики. Кроме того, количество переданных кодовых слов при моделировании должны быть достаточно большим, чтобы оценка отношения ошибочно-переданных блоком к общему числу переданных блоков (FER - frame error rate) была достаточно точна.

Моделирование передачи достаточного количества кодовых слов занимает минуты на современных компьютерах, используя наивную реализацию декодера на CPU или реализацию из доступных библиотек (таких как например реализация из Communication System Toolbox в Matlab). С учетом того, что каждый код должен быть протестирован на десятках различных отношений сигнал-шум (SNR — signal noise ratio), подход с использованием наивной реализации при имеющихся вычислительных ресурсах займет недопустимо большое количество времени.

Альтернативным подходом являются реализации итеративных декодеров с использованием GPU. Многие из доступных реализаций заточены под МППЧ-коды из стандартов. Большая часть использует параллелизм на уровне декодирования одного кодового слова, что позволяет ускорить время между получением битовой последовательности и получением декодированного кодового слова [13], но не использует тот факт, что при оценке вероятности ошибки на блок передается большое количество кодовых слов. В данном случае значительно более существенный выигрыш позволяет получить параллелизм на уровне набора кодовых слов, где вычислительные узлы разделены на группы, каждая из которых занимается декодированием различных кодовых слов [14].

К сожалению, итеративного GPU декодера, оптимизированного для получения оценки вероятности ошибки на блок, не было найдено в открытых

источниках сети Internet, что побудило к созданию простого итеративного декодера с использованием архитектуры CUDA, который позволил получить 60–70 кратное ускорение при моделировании передачи большого числа кодовых слов иррегулярного МППЧ-кода.

### 2.1. Количество кодовых слов при моделировании

В первую очередь следует провести анализ числа кодовых слов, которое следует передать, чтобы статистически достоверно оценить вероятность ошибки на блок.

Пусть  $P$  — вероятность ошибки на блок и передача производилась до достижения  $k$  ошибочно переданных блоков. Тогда суммарно передано  $N \approx \frac{k}{P}$  кодовых слов. Оценим дисперсию среднего арифметического при  $N$  опытах.  $X_i$  — индикаторная случайная величина ошибки при передаче  $i$ -го кодового слова.

$$\begin{aligned}
 D\left(\frac{\sum_i X_i}{N}\right) &= E\left(\frac{\sum_i X_i}{N}\right)^2 - \left(E\left(\frac{\sum_i X_i}{N}\right)\right)^2 \\
 &= \frac{E(\sum_i X_i)^2}{N^2} - \left(\frac{\sum_i E(X_i)}{N}\right)^2 \\
 &= \frac{E(\sum_i X_i)^2}{N^2} - \left(\frac{N \cdot P}{N}\right)^2 \\
 &= \frac{\sum_{i \neq j} E(X_i \cdot X_j) + \sum_i E(X_i^2)}{N^2} - P^2 \\
 &= \frac{N \cdot (N-1) \cdot P^2 + N \cdot P}{N^2} - P^2 \\
 &= \frac{-N \cdot P^2 + N \cdot P}{N^2} \\
 &= \frac{P \cdot (1-P)}{N} = \frac{P^2 \cdot (1-P)}{k}
 \end{aligned}$$

Применяя Гауссовскую аппроксимацию биномиального распределения, можем говорить что пределы за  $3 \cdot \sigma$  маловероятны (вероятность порядка 0.001). Поэтому погрешность находится в пределах (учитывая что в реальности  $P \ll 1$ ):

$$\pm \delta = 3 \cdot P \sqrt{\frac{1-P}{k}} \approx P \cdot \frac{3}{\sqrt{k}}$$

Например, при  $k = 50$  получаем относительную погрешность  $\approx 42\%$ , а при  $k = 100 - \approx 30\%$ . При увеличении  $k$  погрешность убывает обратно пропорционально корню. Для проведения дальнейших исследований остановимся на  $k = 100$ .

## 2.2. Построение порождающей матрицы по проверочной

Многие исследователи при моделировании передачи кодовых слов через канал останавливаются на многократной отправке нулевого кодового слова и его последующем декодировании. Однако, при таком подходе оценка эффективности МППЧ-кода оказывается существенно завышена относительно передачи различных кодовых слов при практическом использовании кода.

Для генерации большого числа различных кодовых слов необходимо иметь представление кода в виде порождающей матрицы. Имея представление  $(n, k)$ -кода в виде проверочной матрицы  $H$  размера  $r \times n$  и ранга  $p = n - k$ , порождающую матрицу кода  $G$  можно получить следующим образом:

- а) С помощью двух проходов алгоритма Гаусса преобразуем матрицу  $H$  к матрице  $J$  того же размера, которая выглядит как:

$$J = \begin{pmatrix} I_p & 0 \\ 0 & 0 \end{pmatrix}$$

Действительно, с помощью первого прохода получаем матрицу с нулями ниже главной диагонали, записав линейное преобразование как матрицу  $P$  размера  $r \times r$ :

$$H_2 = P \cdot H = \begin{pmatrix} 1 & x_{1,2} & x_{1,3} & \dots & x_{1,p} & x_{1,p+1} & \dots & x_{1,n} \\ 0 & 1 & x_{2,3} & \dots & x_{2,p} & x_{2,p+1} & \dots & x_{2,n} \\ \dots & \dots & \dots & \dots & \dots & \dots & \dots & \dots \\ 0 & 0 & 0 & \dots & 1 & x_{p,p+1} & \dots & x_{p,n} \\ 0 & 0 & 0 & \dots & 0 & 0 & \dots & 0 \\ \dots & \dots & \dots & \dots & \dots & \dots & \dots & \dots \\ 0 & 0 & 0 & \dots & 0 & 0 & \dots & 0 \end{pmatrix}$$

Затем, с помощью еще одного прохода  $H_2^T$  может быть приведена к  $J^T$  записав линейное преобразование в матрицу  $Q$  размера  $n \times n$ :

$$J^T = Q \cdot H_2^T$$

$$= Q \cdot \begin{pmatrix} 1 & 0 & \dots & 0 & 0 & \dots & 0 \\ x_{1,2} & 1 & \dots & 0 & 0 & \dots & 0 \\ x_{1,3} & x_{2,3} & \dots & 0 & 0 & \dots & 0 \\ \dots & \dots & \dots & \dots & \dots & \dots & \dots \\ x_{1,p} & x_{2,p} & \dots & 1 & 0 & \dots & 0 \\ x_{1,p+1} & x_{2,p+1} & \dots & x_{p,p+1} & 0 & \dots & 0 \\ \dots & \dots & \dots & \dots & \dots & \dots & \dots \\ x_{1,n} & x_{2,n} & \dots & x_{p,n} & 0 & \dots & 0 \end{pmatrix} = \begin{pmatrix} I_p & 0 & \dots & 0 \\ 0 & 0 & \dots & 0 \\ \dots & \dots & \dots & \dots \\ 0 & 0 & \dots & 0 \end{pmatrix}$$

Итого:

$$J = (Q \cdot H_2^T)^T = H_2 \cdot Q^T = P \cdot H \cdot Q^T$$

б) Запишем отношение между порождающей и проверочной матрицей:

$$G \cdot H^T = 0$$

или то же самое:

$$H \cdot G^T = 0$$

Выражая  $H$  через  $J$ :

$$P^{-1} \cdot J \cdot (Q^T)^{-1} \cdot G^T = 0$$

где  $P^{-1}$  и  $(Q^T)^{-1}$  обратные матрицы для  $P$  и  $Q^T$  соответственно. Обратные матрицы существуют, так как проходы Гаусса сохраняли ранг матрицы, то есть преобразование обратимо.

в) Обозначим  $(Q^T)^{-1} \cdot G^T$  за  $Y$  ( $Y$  имеет размер  $n \times k$ ), тогда:

$$J \cdot Y = 0$$

откуда следует, что  $Y$  имеет форму:

$$Y = \begin{pmatrix} 0 & 0 & \dots & 0 \\ \dots & \dots & \dots & \dots \\ 0 & 0 & \dots & 0 \\ y_{p+1,1} & y_{p+1,2} & \dots & y_{p+1,k} \\ \dots & \dots & \dots & \dots \\ y_{n,1} & y_{n,2} & \dots & y_{n,k} \end{pmatrix}$$

а

$$G^T = Q^T \cdot Y$$

Выбирая различные коэффициенты  $y_{i,j}$  в  $G$  будут получаться различные наборы кодовых слов, не все из которых будут являться базисами. Для получения базисного набора векторов в  $G$ , необходимо и достаточно, чтобы ранг  $G$  был равен  $k$ , так как  $\det Q \neq 0$  соответственно ранг  $Y$  тоже должен быть равен  $k$ .

Одним из подходящих вариантов  $Y$  является следующий, ранг которого равен, очевидно,  $k$  (так как  $n - k = p$ ):

$$Y = \begin{pmatrix} 0 \\ I_k \end{pmatrix}$$

Итого:

$$G = \begin{pmatrix} 0 & I_k \end{pmatrix} \cdot Q$$

### 2.3. Алгоритм декодирования

В качестве алгоритма декодирования был выбран один из множества разновидностей алгоритмов декодирования по принципу распространения доверия — LLR-SPA (Sum-Product Algorithm using Log-Likelihood Ratios — Алгоритм суммирования произведений с использованием логарифмов отношений правдоподобия).

Алгоритм суммирования произведений входит в семейство алгоритмов передачи сообщений, которые позволяют организовать исходные данные в памяти таким образом, чтобы можно было провести параллельную обработку.

Переход к логарифмам был необходим в первую очередь потому, что предполагалась реализация декодера на архитектуре CUDA, которая, за исклю-

чением видеокарт для научных вычислений Tesla, предоставляет только возможность вычисления в типах данных с плавающей точкой одинарной точности. Переход к логарифмам позволил получить приемлемую точность. Кроме того, использование логарифмов позволяет использовать более простые операции, например, сложения вместо умножения.

Вкратце опишем алгоритм LLR-SPA.

### 2.3.1. LLR-SPA

Для простоты записи предположим, что мы рассматриваем  $(J, K)$ —регулярный МППЧ-код. Обозначим событие, что все  $J$  проверочных соотношений выполнены за  $S$ , а выполнение каждой из проверок соответственно за  $S_i$ .

Основное предположение, которое, вообще говоря, неверно при наличии циклов в графе Таннера, говорит о том, что проверки независимы. То есть

$$\Pr(S) = \prod_i \Pr(S_i)$$

Величина в левой части может быть приближена величиной в правой части тем точнее, чем ниже плотность единиц в проверочной матрице кода, но также зависит от многих других критериев, один из которых как раз рассмотрен в данной работе.

Пусть  $\mathbf{x}$  — передаваемое кодовое слово, а  $x_i$  —  $i$ -ый символ кодового слова. Обозначим за  $\mathbf{y}$  принятую последовательность, за  $p_i$  вероятность единицы на  $i$ -ом символе принятой последовательности, основываясь на мягком входе декодера, то есть  $p_i = \Pr(x_i = 1 \mid \mathbf{y})$ .

Рассмотрим основное утверждение, которое позволит сформулировать LLR-SPA как алгоритм передачи сообщений.

*Теорема 13.* (Теорема 11.3 из книги [2]) Если результаты различных проверок, в которые входит данный символ — независимые события, а  $p_{jh}$ ,  $h = 1, \dots, K - 1$ ,  $j = 1, \dots, J$  — вероятность единицы для  $h$ -го символа  $j$ -й проверки при заданной последовательности  $\mathbf{y}$ , то

$$\frac{\Pr(x_i = 0 \mid \mathbf{y}, S)}{\Pr(x_i = 1 \mid \mathbf{y}, S)} = \frac{1 - p_i}{p_i} \cdot \prod_{j=1}^J \frac{1 + \prod_{h=1, \text{col}(j,h) \neq i}^K (1 - 2p_{jh})}{1 - \prod_{h=1, \text{col}(j,h) \neq i}^K (1 - 2p_{jh})} \quad (3)$$

где  $col(j,h)$  обозначает номер столбца  $h$ -ой единицы в  $j$ -ой проверке.

*Доказательство.* Для начала докажем следующую вспомогательную лемму:

*Лемма 14.* (Лемма 11.2 из книги [2]) Пусть в последовательности из  $n$  двоичных символов вероятность единицы в позиции  $i$  равна  $p_i$ . Тогда вероятность четного числа единиц в последовательности равна

$$P_{even} = \frac{1 + \prod_{i=1}^n (q_i - p_i)}{2}, q_i = 1 - p_i \quad (4)$$

*Доказательство.* Рассмотрим бином:

$$\prod_{i=1}^n (q_i - p_i)$$

отрицательные слагаемые в котором соответствуют вероятностям последовательностей с нечетным числом единиц, а положительные с четным. Соответственно:

$$P_{even} - P_{odd} = \prod_{i=1}^n (q_i - p_i)$$

а

$$P_{even} + P_{odd} = 1$$

Таким образом, складывая предыдущие выражения для получения  $P_{even}$ , получаем:

$$P_{even} = \frac{1 + \prod_{i=1}^n (q_i - p_i)}{2}, q_i = 1 - p_i$$

□

По теореме Байеса:

$$\Pr(x_i = 0 \mid \mathbf{y}, S) = \frac{\Pr(S \mid \mathbf{y}, x_i = 0) \cdot \Pr(x_i = 0 \mid \mathbf{y})}{\Pr(S \mid \mathbf{y})} \quad (5)$$

$$\Pr(x_i = 1 \mid \mathbf{y}, S) = \frac{\Pr(S \mid \mathbf{y}, x_i = 1) \cdot \Pr(x_i = 1 \mid \mathbf{y})}{\Pr(S \mid \mathbf{y})} \quad (6)$$

После подстановки:

$$\frac{\Pr(x_i = 0 \mid \mathbf{y}, S)}{\Pr(x_i = 1 \mid \mathbf{y}, S)} = \frac{\Pr(S \mid \mathbf{y}, x_i = 0) \cdot \Pr(x_i = 0 \mid \mathbf{y})}{\Pr(S \mid \mathbf{y}, x_i = 1) \cdot \Pr(x_i = 1 \mid \mathbf{y})} \quad (7)$$

Так как  $\Pr(x_i = 0 \mid \mathbf{y}) = 1 - p_i$ , а  $\Pr(x_i = 1 \mid \mathbf{y}) = p_i$ :

$$\frac{\Pr(x_i = 0 \mid \mathbf{y}, S)}{\Pr(x_i = 1 \mid \mathbf{y}, S)} = \frac{1 - p_i}{p_i} \cdot \frac{\Pr(S \mid \mathbf{y}, x_i = 0)}{\Pr(S \mid \mathbf{y}, x_i = 1)} \quad (8)$$

В первом случае:

$$\Pr(S \mid \mathbf{y}, x_i = 0) = \prod_{j=1}^J \Pr(S_j \mid \mathbf{y}, x_i = 0) \quad (9)$$

$S_j$  выполняется, когда  $\sum_{k \neq i} x_k$  четна, то есть:

$$\Pr(S_j \mid \mathbf{y}, x_i = 0) = \frac{1 + \prod_{h=1, \text{col}(j,h) \neq i}^K (1 - p_{jh} - p_{jh})}{2}$$

Во втором случае:

$$\Pr(S \mid \mathbf{y}, x_i = 1) = \prod_{j=1}^J \Pr(S_j \mid \mathbf{y}, x_i = 1) \quad (10)$$

Здесь  $S_j$  выполняется, когда  $\sum_{k \neq i} x_k$  нечетна, то есть:

$$\Pr(S_j \mid \mathbf{y}, x_i = 0) = \frac{1 - \prod_{h=1, \text{col}(j,h) \neq i}^K (1 - p_{jh} - p_{jh})}{2}$$

Собирая все вместе, получаем утверждение теоремы. □

Переформулируем выражения в терминах логарифмов. Для этого введем обозначение  $\alpha$  для знака логарифма правдоподобия и  $\beta$  для абсолютной величины со следующими индексами:

$$\ln \frac{1 - p_i}{p_i} = \alpha_i \beta_i$$

$$\ln \frac{1 - p_{jh}}{p_{jh}} = \alpha_{jh} \beta_{jh}$$

Введем функцию  $f$ :

$$f(\beta) = \ln \frac{e^\beta + 1}{e^\beta - 1}, \beta > 0$$



Заметим, что

$$f(\beta) = -\ln \frac{e^{\beta/2} - e^{-\beta/2}}{e^{\beta/2} + e^{-\beta/2}} = -\ln \tanh(\beta/2),$$

где

$$\tanh(x) = \frac{e^x - e^{-x}}{e^x + e^{-x}} = \frac{e^{2x} - 1}{e^{2x} + 1}$$

Получаем:

$$1 - 2p = \frac{q - p}{q + p} = \frac{q/p - 1}{q/p + 1} = \tanh\left(\frac{\alpha\beta}{2}\right) = \alpha e^{-f(\beta)}$$

так как  $\tanh(\alpha\beta) = \alpha \tanh(\beta)$ .

Подставляя полученное выражение в основное тождество:

$$\alpha'_i \beta'_i = \alpha_i \beta_i + \sum_{j=1}^J \ln \frac{1 + \prod_{h=1, \text{col}(j,h) \neq i}^K (1 - 2p_{jh})}{1 - \prod_{h=1, \text{col}(j,h) \neq i}^K (1 - 2p_{jh})}$$

Из предыдущего замечания получаем

$$\prod_{h=1, \text{col}(j,h) \neq i}^K (1 - 2p_{jh}) = \prod_{h=1, \text{col}(j,h) \neq i}^K \alpha_{jh} \cdot e^{-\sum_{h=1, \text{col}(j,h) \neq i}^K f(\beta_{jh})}$$

Обозначим  $\prod_{h=1, \text{col}(j,h) \neq i}^K \alpha_{jh}$  за  $A_{ij}$ , а  $e^{-\sum_{h=1, \text{col}(j,h) \neq i}^K f(\beta_{jh})}$  за  $T_{ij}$ . Тогда:

$$\alpha'_i \beta'_i = \alpha_i \beta_i + \sum_{j=1}^J \ln \frac{1 + A_{ij} T_{ij}}{1 - A_{ij} T_{ij}}$$

Заметим некоторые полезные свойства функции  $f$ :

$$f(\beta) = \ln \frac{e^\beta + 1}{e^\beta - 1} = \ln \frac{1 + e^{-\beta}}{1 - e^{-\beta}} = -\ln \frac{1 - e^{-\beta}}{1 + e^{-\beta}}, \beta > 0$$

Кроме того, если  $\beta > 0$ , тогда  $f(\beta) > 0$ .

Таким образом  $0 < T_{ij} < 1$ .

Если  $A_{ij} = 1$ , тогда:

$$\ln \frac{1 + A_{ij}T_{ij}}{1 - A_{ij}T_{ij}} = \ln \frac{1 + T_{ij}}{1 - T_{ij}} = f(-\ln T_{ij})$$

Иначе если  $A_{ij} = -1$ , тогда:

$$\ln \frac{1 + A_{ij}T_{ij}}{1 - A_{ij}T_{ij}} = \ln \frac{1 - T_{ij}}{1 + T_{ij}} = -f(-\ln T_{ij})$$

Или, объединяя оба случая:

$$\ln \frac{1 + A_{ij}T_{ij}}{1 - A_{ij}T_{ij}} = A_{ij} \cdot f(-\ln T_{ij})$$

Подставляя назад, получаем:

$$\begin{aligned} \alpha'_i \beta'_i &= \alpha_i \beta_i + \sum_{j=1}^J A_{ij} \cdot f(-\ln T_{ij}) = \\ &= \alpha_i \beta_i + \sum_{j=1}^J \prod_{h=1, \text{col}(j,h) \neq i}^K \alpha_{jh} \cdot f\left(\sum_{h=1, \text{col}(j,h) \neq i}^K f(\beta_{jh})\right) \end{aligned}$$

### 2.3.2. LLR-SPA как алгоритм обмена сообщениями

Рассмотрим некоторый граф Таннера (см. рис. 3а).

1. На первом шаге алгоритма символьные узлы передают начальные приближения о полученных символах последовательности из канала  $\alpha_i \beta_i$  проверочным узлам (см. рис. 3б).

Для получения логарифма правдоподобия  $\alpha_i \beta_i = \ln \frac{1-p}{p}$  по полученному значению  $x_0$  из канала необходимо провести преобразование. По договоренности единичные биты передаются значением  $-1$ , а нулевые значением  $0$ . Шум в канале размывает вероятность в колокол нормального распределения. Следовательно, вероятность  $p$  переданной единицы составляет вероятность «принадлежности» левому колоколу на рис. 4, а  $q = 1 - p$  соответственно правому.

Рассмотрим соотношение плотностей нормального распределение в произвольной точке  $x_0$  и получим формулу получения логарифма правдопо-

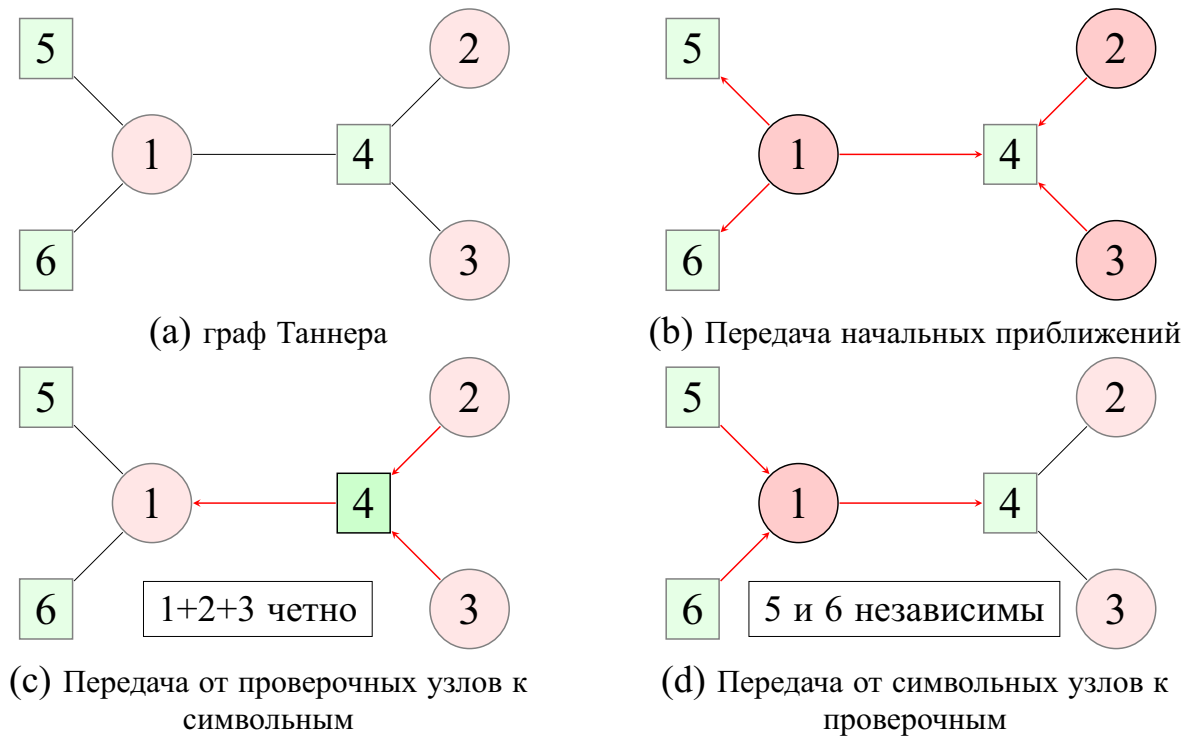


Рисунок 3 – Пример обмена сообщениями в графе Таннера

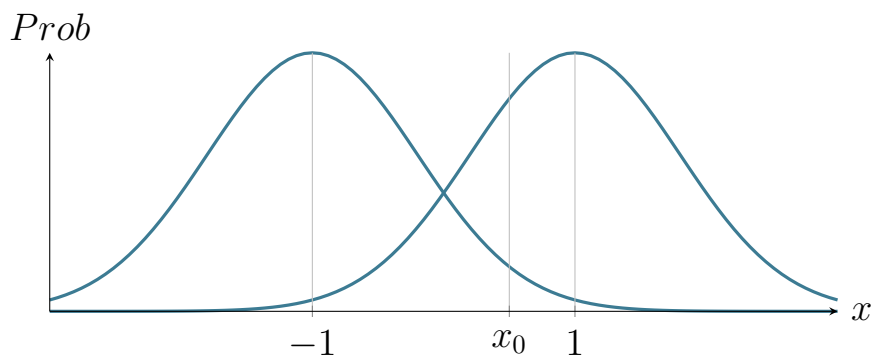


Рисунок 4 – Распределение вероятности в канале с шумом

добия:

$$\begin{aligned} \ln \frac{1-p}{p} &= \ln \frac{\frac{1}{\sigma\sqrt{2\pi}} e^{-\frac{(x_0-1)^2}{2\sigma^2}}}{\frac{1}{\sigma\sqrt{2\pi}} e^{-\frac{(x_0+1)^2}{2\sigma^2}}} = \ln \frac{e^{-\frac{(x_0-1)^2}{2\sigma^2}}}{e^{-\frac{(x_0+1)^2}{2\sigma^2}}} = \ln e^{-\frac{(x_0-1)^2}{2\sigma^2} + \frac{(x_0+1)^2}{2\sigma^2}} = \\ &= \frac{-(x_0-1)^2 + (x_0+1)^2}{2\sigma^2} = \frac{-x_0^2 + 2x_0 - 1 + x_0^2 + 2x_0 + 1}{2\sigma^2} = \frac{2x_0}{\sigma^2}. \end{aligned}$$

2. На втором шаге каждый из проверочных узлов берет за основу информацию, полученную от символьных узлов, и факт, что сумма должна быть четной. Таким образом проверочный узел  $j$  подсчитывает и отправляет новую оценку для символьного узла  $i$ , основываясь на других узлах в

проверке (см. рис. 3с):

$$Z(j,i) = \prod_{h=1, \text{col}(j,h) \neq i}^K \alpha_{jh} \cdot f\left(\sum_{h=1, \text{col}(j,h) \neq i}^K f(\beta_{jh})\right) \quad (11)$$

3. На третьем шаге каждый из символьных узлов  $i$  комбинирует информацию, полученную от проверочных узлов, считая, что проверки независимы (что неверно в общем случае), и отправляет каждому смежному проверочному узлу  $j$  информацию от других проверочных узлов в уравнения которых этот символ также входит (см. рис. 3d):

$$\alpha_{ji}\beta_{ji} = L(j,i) = \alpha_i\beta_i + \sum_{h=1, \text{row}(h,i) \neq j}^J Z(h,i) \quad (12)$$

4. На четвертом шаге, исходя из имеющейся информации в символьных узлах, строится текущее предполагаемая переданная последовательность:

$$\tilde{y}_i = \alpha_i\beta_i + \sum_{h=1}^J Z(h,i) \quad (13)$$

$$x_i = \tilde{y}_i < 0$$

Если вектор  $x$  жестких решений является кодовым словом, что может быть проверено с помощью умножения на проверочную матрицу  $H$ , алгоритм декодирования завершается успешно. В случае моделирования это может быть проверено быстрее — простым сравнением с переданным кодовым словом.

После чего, если не достигнуто максимальное число итераций, шаги 2-4 повторяются. Типичное используемое число итераций, которое также использовано в данном исследовании — 50.

Если после максимального числа итераций кодовое слово до сих пор не получено — фиксируется ошибка при передаче, и алгоритм завершается.

#### 2.4. Реализация алгоритма декодирования на GPU

При переносе алгоритма на GPU используется два уровня распараллеливания вычислений. Первый уровень на основе разделения по кодовым словам, что очень хорошо ложится на архитектуру блоков и потоков, используемую в

CUDA. Второй уровень разделения на уровне ребер — каждая сумма по смежным ребрам из выражений (11), (12), (13) при передаче сообщения по ребру считается отдельным потоком из пула потоков.

Таким образом, на первом уровне, каждый из блоков занимается декодированием одного кодового слова. Потоки в блоке могут синхронизировать свое исполнение, что используется после окончания каждого шага алгоритма. Также потоки в блоке могут использовать общую память. Так как при декодировании различных кодовых слов экземпляры декодеров не взаимодействуют между собой, изолированность при работе различных блоков является большим плюсом, позволяя не тратить время на синхронизацию. Экспериментальным путем было решено использовать 100 блоков, таким образом параллельно декодируя 100 кодовых слов.

Для эффективного подсчета сумм из выражений (11), (12), (13) данные необходимо правильно расположить в памяти для попадания в кэш, так как работа с памятью один из самых узких участков в алгоритме.

Для этого продублируем информацию о ребрах, первый раз расположив ее таким образом, чтобы ребра, соответствующие символам из одной проверки, находились последовательно, для попадания в кэш при подсчете выражения (11). Значения  $\alpha_{jh}\beta_{jh}$  с одинаковым  $j$  также должны быть расположены последовательно. Этого можно добиться построчным обходом матрицы  $H$  с последовательной записью соответствующих ребер в некоторый участок памяти вместе с индексами начала и конца ребер, соответствующих той же проверке в записанном блоке памяти.

Второй раз информацию о ребрах необходимо расположить так, чтобы ребра соответствующие одному символьному узлу лежали последовательно, для быстрого вычисления выражений (12) и (13). Кроме того, значения  $Z(h,i)$  с одинаковым  $i$  также должны быть расположены последовательно. Этого можно добиться обходом матрицы  $H$  по столбцам с последовательной записью соответствующих ребер и индексов начала и конца ребер, соответствующих тому же символьному узлу в записанном блоке памяти. Таким образом, для вычисления  $Z(j,i)$ ,  $L(j,i)$ ,  $\tilde{y}_i$  из выражений (11), (12) и (13) берется отдельный поток из пула потоков, который с помощью прохода по соответствующей области памяти со смежными ребрами выполняет необходимые операции. Экспериментальным путем размер пула потоков установлен равным 512. Про-

производительность оптимизировалась под видеокарту на которой проводились эксперименты — GeForce GTX 780 3Gb. После выполнения каждого шага производилась синхронизация потоков в блоке. После подсчета выражения (11) производилось округление слишком больших значений  $Z(j,i)$  по абсолютному значению до значения  $\pm 13.07$ . Такая константа выбрана из тех соображений, что любое значение  $\leq 10$  при используемых размерах кодов не дает достаточной точности, а значение  $\geq 16$  приводит к переполнению при проведении вычислений в типе данных с плавающей точкой одинарной точности.

На экспериментах из исследования реализованный алгоритм позволил получить почти 60-кратное ускорения по сравнению с версиями на CPU. Исходный код декодера доступен на GitHub<sup>1</sup>.

## 2.5. Подсчет эффективности кода

Стандартный способ оценки эффективности кода — построения графика вероятности ошибки на блок от отношения сигнал-шум.

При фиксированной величине отношения сигнал-шум для оценки вероятности ошибки на блок необходимо отсылать кодовые слова до достижения некоторого порогового значения количества ошибок на блок — в нашем случае  $k = 100$ , как было сказано ранее. В силу того, что разработанный декодер обрабатывает несколько полученных кодовых последовательностей одновременно, декодирование будет производиться блоками по  $D = 100$  кодовых слов (наиболее оптимальное количество кодовых слов в блоке для одновременного декодирования установлено экспериментальным путем). Проверка достижения порогового количества ошибок будет происходить после обработки каждого блока.

Таким образом, при фиксированном значении отношения сигнал-шум подсчет эффективности производится следующим образом:

- а) Вычислить порождающую матрицу  $G$  по проверочной матрице  $H$ .
- б) Сгенерировать достаточное количество кодовых слов для подсчета эффективности. Было решено генерировать  $D = 100$  различных кодовых слов, то есть количество равное числу слов в блоке. Таким образом, набор кодовых слов в блоках будет одинаковым, но переданные последовательности будут разными за счет различных шумовых данных. Каждое

<sup>1</sup><https://github.com/antonkov/CUDA-LDPC-BER-Simulator>

случайно сгенерированное кодовое слово является линейной комбинацией базисных кодовых слов, где каждое базисное кодовое слово взято с вероятностью  $\frac{1}{2}$ . Генератор случайных чисел инициализируется одинаковым случайным значением, соответственно, подсчет эффективности проводится на одинаковой последовательности кодовых слов для фиксированного кода на разных отношениях сигнал-шум.

- в) Сгенерировать шум и прибавить шумовые данные к кодовым словам. Исходя из определения отношения сигнал-шум:

$$SNR(dB) = 10 \log_{10} \left( \frac{A_{signal}^2}{A_{noise}^2} \right)$$

где  $A_{signal}, A_{noise}$  — среднеквадратичное значение амплитуды сигнала и шума соответственно.

Принимая амплитуды сигнала за  $\pm 1$  как у Галлагера, считаем, что  $A_{signal} = 1$ . Соответственно:

$$A_{noise}^2 = 10^{-\frac{SNR}{10}}$$

Таким образом, для моделирования шума с заданным отношением SNR необходимо сгенерировать данные с нормальным распределением со средним равным 0 и дисперсией  $\sigma^2 = A_{noise}^2$ .

- г) Производить декодирование по блокам с последующим измерением числа ошибок до достижения порогового значения количества ошибок.

В данном исследовании нас будет интересовать интервал отношения сигнал-шум от 1 дБ до 3.5 дБ, так как большинство случайных кодов достигают вероятности ошибки на блок  $10^{-3}$  для исследуемых размеров ранее 3.5 дБ. Кроме того заметим, что нет необходимости измерять вероятность ошибки для кода при большем отношении сигнал-шум, если при текущем отношении код настолько хорош, что ошибка оказывается менее некоторой пороговой, например,  $10^{-3}$ . Более того, это еще и очень долго, так как вероятность ошибки при увеличении отношения сигнал-шум может уменьшаться экспоненциально.

Шаг между отношениями сигнал-шум выбран равным 0.1, опять же из соображений того, что вероятность может убывать очень быстро и при большом шаге будет настолько мала, что достижение достаточного числа ошибок

займет существенное время. Использование более малого шага нецелесообразно, так как вероятность уменьшается не так существенно.

Иногда представление эффективности кода в виде графика зависимости от отношения сигнал-шум неудобно, так как в таком представлении различные коды могут быть несравнимы. Значение отношения сигнал-шум  $S_0$  при котором вероятность ошибки на блок впервые становится менее некоторого заданного значения, например,  $10^{-3}$ , дает гораздо более компактное представление об эффективности кода и может быть использовано для сравнения эффективности различных кодов.

Подсчет величины  $S_0$  можно организовать на основе построения графика эффективности кода от отношения сигнал-шум до достижения необходимой вероятности, однако, подсчет может быть организован гораздо эффективнее.

Заметим, что вероятность ошибки монотонно убывает при росте отношения сигнал-шум, соответственно, можно использовать бинарный поиск по отношению сигнал-шум для нахождения  $S_0$ . Однако, при данном подходе подсчет вероятности при значениях больше  $S_0$  может занимать существенное время, так как мы знаем что вероятность ошибки может убывать экспоненциально. Для экономии времени при обработке слишком больших отношений сигнал-шум ограничим количество кодовых слов для отправки.

Обозначим текущее отношение сигнал-шум за  $S$ , вероятность ошибки при  $S_0$  за  $\text{FER}_{\text{target}}$  (где FER — Frame Error Rate), полученное количество ошибок на блок за  $k$ , пороговое значение количества ошибок на блок за  $k_0$ , количество переданных слов за  $N$ . Тогда нет необходимости пересылать более  $N$  кодовых слов:

$$N = \frac{2 \cdot k_0}{\text{FER}_{\text{target}}}$$

Оценим вероятность ошибочного определения положения  $S$  относительно  $S_0$ .

Действительно, при условии что  $S > S_0$  ограничение на количество переданных кодовых слов при недостижении заданного порога количества ошибок только увеличивает вероятность правильного определения предиката нахождения  $S$  относительно  $S_0$ .

При условии  $S < S_0$  и передаче  $N$  кодовых слов матожидание  $k$  не менее  $2 \cdot k_0$ . Вспомним, что при  $k_0 = 100$  среднеквадратичное отклонение составляет  $\sigma = 0.1$ , и, соответственно, вероятность, что  $k > 2 \cdot k_0 - 3 \cdot \sigma \cdot 2 \cdot k_0 = 1.4 \cdot k_0$  более



0.999, а вероятность, что  $k > 2 \cdot k_0 - 5 \cdot \sigma \cdot 2 \cdot k_0 = k_0$  более 0.999999997. Таким образом, вероятность, протестировав  $N$  слов, получить менее  $k_0$  ошибок при отношении сигнал-шум  $S < S_0$  составляет менее  $3 \cdot 10^{-9}$ , что достаточно мало.

В итоге для нахождения  $S_0$  с помощью бинарного поиска достаточно порядка 10 итераций при начальных границах от 1 дБ до 5 дБ.

### ГЛАВА 3. АЛГОРИТМ ПОДСЧЕТА СПЕКТРА ГРАФА ТАННЕРА

Эта задача порождена проблемой анализа и оптимизации МППЧ-кодов. Пусть  $B$  — (двоичная) базовая матрица кода. Для нее определен двудольный граф Таннера  $G_T = \{V, E\}$  с множеством вершин  $V = V_s \cup V_c$ , где  $V_s$  и  $V_c$  — множества символьных и проверочных вершин, соответственно. Единицам матрицы  $B$  соответствуют ребра графа  $G_T$ .

*Пример 15.* Рассмотрим базовую матрицу  $B$

$$B(D) = \begin{pmatrix} 1 & 1 & 0 & 1 \\ 1 & 1 & 1 & 0 \\ 1 & 0 & 1 & 1 \end{pmatrix}, \quad (14)$$

для задающей квазициклический МППЧ-код полиномиальной проверочной матрицы

$$H(D) = \begin{pmatrix} D^{w_{11}} & D^{w_{12}} & 0 & D^{w_{14}} \\ D^{w_{21}} & D^{w_{22}} & D^{w_{23}} & 0 \\ D^{w_{31}} & 0 & D^{w_{33}} & D^{w_{34}} \end{pmatrix} \quad (15)$$

Для удобства переназначим веса переходов

$$H(D) = \begin{pmatrix} D^{w_1} & D^{w_4} & 0 & D^{w_8} \\ D^{w_2} & D^{w_5} & D^{w_6} & 0 \\ D^{w_3} & 0 & D^{w_7} & D^{w_9} \end{pmatrix} \quad (16)$$

Соответствующая матрица инцидентности графа Таннера

$$G_T(D) = \begin{pmatrix} 1 & 1 & 1 & 0 & 0 & 0 & 0 & 0 & 0 \\ 0 & 0 & 0 & 1 & 1 & 0 & 0 & 0 & 0 \\ 0 & 0 & 0 & 0 & 0 & 1 & 1 & 0 & 0 \\ 0 & 0 & 0 & 0 & 0 & 0 & 0 & 1 & 1 \\ D^{w_1} & 0 & 0 & D^{w_4} & 0 & 0 & 0 & D^{w_8} & 0 \\ 0 & D^{w_2} & 0 & 0 & D^{w_5} & D^{w_6} & 0 & 0 & 0 \\ 0 & 0 & D^{w_3} & 0 & 0 & 0 & D^{w_7} & 0 & D^{w_9} \end{pmatrix}$$

Сам граф показан на рис. 6. Кругами и квадратами показаны символьные и проверочные узлы.

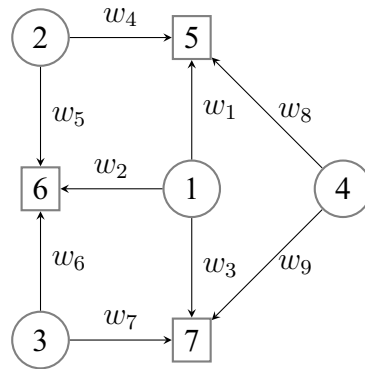


Рисунок 5 – Граф Таннера для кода из примера 15

Задача состоит в подсчете числа циклов заданной длины в расширенном графе с заданной степенью расширения  $M$ . Длина цикла равна числу переходов в пути, начинающемся и заканчивающемся в одном и том же узле и таком, что сумма весов переходов по модулю  $M$  равна нулю. Веса суммируются с учетом знаков, зависящих от направления перехода (см. рис. 6).

Такой тип циклов часто называют замкнутым обходом, однако при подсчете рассматриваемых объектов необходимо учесть следующие дополнительные ограничения.

- Запрещено двигаться обратно по последнему пройденному ребру. Например, путь  $6 \rightarrow 1 \rightarrow 6$  веса 0 запрещен.
- Циклические сдвиги путей и инверсии путей должны учитываться как один цикл. Например, путь  $p = 6 \rightarrow 1 \rightarrow 7 \rightarrow 3 \rightarrow 6$  образует цикл при условии  $w_2 - w_6 + w_7 - w_3 = 0$ . При этом пути  $6 \rightarrow 3 \rightarrow 7 \rightarrow 1 \rightarrow 6$  и  $1 \rightarrow 7 \rightarrow 3 \rightarrow 6 \rightarrow 1$  тоже циклы, но они уже не вносят вклад в число циклов длины 4, если цикл  $p$  учтен.

Хотелось бы применить стандартные методы, используемые при анализе систем на основе конечных автоматов. Данный граф не является конечным автоматом, поскольку перемещение из состояния в состояние зависит от предыдущего состояния. Например, на рис. 6 после состояния 4 возможно только 5, если предыдущим было 7 и, наоборот, только 7, если предыдущим было 5.

Чтобы свести задачу к анализу конечных автоматов, введем новое множество состояний  $U = \{e, \xi\}$ , где  $e$  задает ребро исходного графа, а  $\xi$  – направление перехода. Сокращенно будем записывать пары в виде  $+e$  и  $-e$ .

Из графа на рис. 6 получится граф с 18 состояниями  $\{\pm 1, \pm 2, \dots, \pm 9\}$ . Заметим, однако, что после отрицательного ребра следуют только положитель-

ные и после положительного отрицательные. Это позволит записать матрицу переходов компактно в виде двух матриц, матрицы положительных и матрицы отрицательных переходов. Например, следующими состояниями (ребрами графа Таннера) после положительного перехода  $+1$  возможны отрицательные  $-4, -8$ . После отрицательного перехода  $-1$  возможны положительные  $2, 3$ .

В нашем примере две матрицы переходов имеют вид

$$A_- = \begin{pmatrix} 0 & 0 & 0 & D^{-w_4} & 0 & 0 & 0 & D^{-w_8} & 0 \\ 0 & 0 & 0 & 0 & D^{-w_5} & D^{-w_6} & 0 & 0 & 0 \\ 0 & 0 & 0 & 0 & 0 & 0 & D^{-w_7} & 0 & D^{-w_9} \\ D^{-w_1} & 0 & 0 & 0 & 0 & 0 & 0 & D^{-w_8} & 0 \\ 0 & D^{-w_2} & 0 & 0 & 0 & D^{-w_6} & 0 & 0 & 0 \\ 0 & D^{-w_2} & 0 & 0 & D^{-w_5} & 0 & 0 & 0 & 0 \\ 0 & 0 & D^{-w_3} & 0 & 0 & 0 & 0 & 0 & D^{-w_9} \\ D^{-w_1} & 0 & 0 & D^{-w_4} & 0 & 0 & 0 & 0 & 0 \\ 0 & 0 & D^{-w_3} & 0 & 0 & 0 & D^{-w_7} & 0 & 0 \end{pmatrix}$$

$$A_+ = \begin{pmatrix} 0 & D^{w_2} & D^{w_3} & 0 & 0 & 0 & 0 & 0 & 0 \\ D^{w_1} & 0 & D^{w_3} & 0 & 0 & 0 & 0 & 0 & 0 \\ D^{w_1} & D^{w_2} & 0 & 0 & 0 & 0 & 0 & 0 & 0 \\ 0 & 0 & 0 & 0 & D^{w_5} & 0 & 0 & 0 & 0 \\ 0 & 0 & 0 & D^{w_4} & 0 & 0 & 0 & 0 & 0 \\ 0 & 0 & 0 & 0 & 0 & 0 & D^{w_7} & 0 & 0 \\ 0 & 0 & 0 & 0 & 0 & D^{w_6} & 0 & 0 & 0 \\ 0 & 0 & 0 & 0 & 0 & 0 & 0 & 0 & D^{w_9} \\ 0 & 0 & 0 & 0 & 0 & 0 & 0 & D^{w_8} & 0 \end{pmatrix}$$

Заметим, что все циклы имеют четную длину и состоят из пар переходов (по стрелке, против стрелки). Можно построить матрицу переходов за два

шага, как произведение матриц  $A_+, A_-$

$$A = A_+ A_- = \begin{pmatrix} 0 & 0 & 0 & 0 & \omega_{45} & 0 & 0 & 0 & \omega_{89} \\ 0 & 0 & 0 & \omega_{54} & 0 & 0 & \omega_{67} & 0 & 0 \\ 0 & 0 & 0 & 0 & 0 & \omega_{76} & 0 & \omega_{98} & 0 \\ 0 & \omega_{12} & \omega_{13} & 0 & 0 & 0 & 0 & 0 & \omega_{89} \\ \omega_{21} & 0 & \omega_{23} & 0 & 0 & 0 & \omega_{67} & 0 & 0 \\ \omega_{21} & 0 & \omega_{23} & \omega_{54} & 0 & 0 & 0 & 0 & 0 \\ \omega_{31} & \omega_{32} & 0 & 0 & 0 & 0 & 0 & \omega_{98} & 0 \\ 0 & \omega_{12} & \omega_{13} & 0 & \omega_{45} & 0 & 0 & 0 & 0 \\ \omega_{31} & \omega_{32} & 0 & 0 & 0 & \omega_{76} & 0 & 0 & 0 \end{pmatrix}$$

где  $\omega_{ij} = D^{-w_i+w_j}$ .

В общем случае матрица переходов за 2 шага будет иметь размер равный числу единиц в базовой матрице  $B$ .

Для подсчета производящей функции числа путей длины  $2L$ , начинающихся с ребра 1 в положительном направлении, нужно начальный вектор  $\mathbf{a}_0 = (1, 0, \dots, 0)$  умножить на  $A^L$ . Для нашего примера при

$$\mathbf{a}_2 = \mathbf{a}_0 A = \begin{pmatrix} 0 & 0 & 0 & 0 & \omega_{45} & 0 & 0 & 0 & \omega_{89} \end{pmatrix} \quad (17)$$

$$\mathbf{a}_4 = \mathbf{a}_2 A = \begin{pmatrix} \omega_{4521,8931} & \omega_{8932} & \omega_{4523} & 0 & 0 & \omega_{8976} & \omega_{4567} & 0 & 0 \end{pmatrix} \quad (18)$$

где первая компонента является сокращенной записью полинома

$$\omega_{4521,8931} = D^{-w_4+w_5-w_2+w_1} + D^{-w_8+w_9-w_3+w_1}$$

Кроме того необходимо отметить:

- Соблюдение условия неповторения ребра на стыке цикла также соблюдается.
- Хотя мы пишем  $+$ ,  $-$  в выражениях типа  $D^{-w_4+w_5-w_2+w_1}$ ,  $w_i$  не коммутируют между собой, так как неупорядоченный набор ребер не задает однозначно цикл (16), таким образом, до подстановки конкретных значений  $w_i$  не могут быть сложены.

*Пример 16.* Обозначим пути  $c_1 = 1 \rightarrow -4 \rightarrow 5 \rightarrow -2$ ,  $c_2 = 1 \rightarrow -4 \rightarrow 6 \rightarrow -3$ ,  $c_3 = 2 \rightarrow -5 \rightarrow 6 \rightarrow -3$ . Обратные к этим путям по

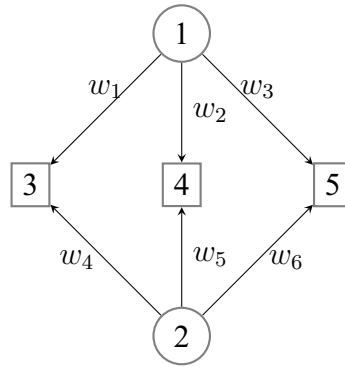


Рисунок 6 – Граф Таннера для кода из примеров 16, 17

направлению соответственно  $c_{-1}, c_{-2}, c_{-3}$ . Тогда набор ребер как объединением  $\{c_1, c_{-2}, c_{-3}\}$  может обозначать два пути —  $c_1 c_{-3} c_{-2}$  и  $c_1 c_{-2} c_{-3}$ , которые не могут быть получены друг из друга с помощью циклического сдвига и инверсии.

Из (22) видим, что существуют 2 потенциальных цикла длины 4. Цикл образуется в том случае, когда сумма в показателе степени равна нулю. Например, если  $-w_4 + w_5 - w_2 + w_1 = 0$ , а  $-w_8 + w_9 - w_3 + w_1 \neq 0$  то

$$a_{41}(D) = 1 + D^{-w_8+w_9-w_3+w_1},$$

и  $a_{41}(0) = 1$ . Пусть  $a_{2L,i}^j$  обозначает коэффициент при  $D^j$  в  $i$ -ой компоненте  $a_{2L}$ .

Здесь и далее считаем, что  $D^0 = 1$ , несмотря на то, что  $D$  может быть 0. Таким образом, свободный член полинома равен количеству циклов веса 0 без учета эквивалентных циклов. В общем случае все циклы длины  $2L$ , проходящие через ребро  $+1$ , учтены в  $a_{2L,1}(0)$ , однако некоторые из них могут быть учтены многократно (17). Кроме того, необходимо аналогично учесть циклы, проходящие через ребро  $+2, +3$  и так далее. Такое суммарное рассмотрение неизбежно будет учитывать циклы повторно, однако количество повторений не обязательно равно длине цикла и зависит от его состава.

*Пример 17.* Пути  $1 \rightarrow -4 \rightarrow 5 \rightarrow -2 \rightarrow 1 \rightarrow -4 \rightarrow 6 \rightarrow -3$  и  $1 \rightarrow -4 \rightarrow 6 \rightarrow -3 \rightarrow 1 \rightarrow -4 \rightarrow 5 \rightarrow -2$ , начинающиеся с 1 эквивалентны, так как являются циклическим сдвигом друг друга, но будут учтены дважды.

Дальнейшие рассуждения можно проводить двумя способами:

- Рассматривать  $w_i$  в качестве символьных переменных. Можно выписать все возможные комбинации весов, приводящие к потенциальным циклам длины  $2L$ , и, затем, вычислять спектры циклов, подставляя разные наборы разметок в полученные уравнения. Число циклов равно числу нулей в уравнениях.
- При заданных (фиксированных) весах ребер подсчитать спектр длин циклов в заданном диапазоне.

### 3.1. Веса как символьные переменные

В случае рассмотрения  $w_i$  как символьных переменных необходимо избавиться от эквивалентных относительно сдвига и инверсии комбинаций. Для этого каждый путь приводится к минимальному лексикографическому виду, после чего убираются дубликаты.

Заметим, что цикл в обратном направлении к рассматриваемому циклу не может быть эквивалентен относительно сдвига исходному. Обозначим  $\bar{p}$  путь в обратном направлении к пути  $p = e_1, e_2, \dots, e_n$ . Предположим  $p$  и  $\bar{p}$  эквивалентны относительно сдвига — тогда найдется индекс  $i$  такой, что  $\bar{e}_i, \bar{e}_{i-1}, \dots, \bar{e}_1 = e_1, e_2, \dots, e_i$ . Если  $i$  нечетно, тогда  $\bar{e}_{(i+1)/2} = e_{(i+1)/2}$  — противоречие. Если  $i$  четно, то  $e_{i/2+1} = \bar{e}_{i/2}$ , что противоречит ограничению, что путь не может идти обратно по последнему пройденному ребру.

Таким образом, каждому циклу соответствует ровно два пути в разных направлениях. Непосредственно инвертируя каждый путь, несложно оставить ровно один из каждой пары.

По причине того, что число различных путей растет экспоненциально при построении всех возможных символьных комбинаций, лучше воспользоваться подходом *meet-in-the-middle*. Это позволяет для нахождения всех возможных циклов длины  $2L$  рассматривать только пути длины  $L$ , в то время как описанный алгоритм рассматривает пути длины  $2L$ .

### 3.2. Фиксированные веса

В случае когда веса изначально зафиксированы, можно считать, что веса коммутируют, поэтому достаточно считать не более  $M$  членов в каждом полиноме при умножении на матрицу  $A$ , по одному значению для каждой возможной суммы весов. После чего устранить дубликаты из результата с помощью обращения Мебиуса.

Рассмотрим для цикла  $p$  сколько раз он был учтен. Порядком цикла назовем максимальное  $r$  такое, что  $p$  можно представить как

$$p = \underbrace{ss \dots s}_{r \text{ раз}}$$

Периодом цикла  $p$  назовем длину  $|s| = \frac{|p|}{r}$ . Таким образом, цикл  $p$  периода  $l$  имеет  $l$  различных циклических сдвигов, следовательно, будет учтен  $2l$  раз с учетом последовательностей в обратном порядке.

Последовательно для каждого  $i$  зафиксируем

$$a_0 = (\underbrace{0, 0, \dots, 0}_{i \text{ раз}}, 1, 0, \dots, 0)$$

и вычислим

$$a_{2L} = a_0 A^L$$

проводя все вычисления в кольце многочленов по модулю  $D^M$ .

Запомним количество циклов (всех возможных весов) проходящих через  $+i$ , содержащееся в многочлене  $a_{2L,i}$  как  $b_{2L,i}$ .

Суммируя по всем возможным  $a_0$ , получаем

$$b_{2L} = \sum_i b_{2L,i}$$

— многочлен с коэффициентами при  $D^w$  соответственно равными количеству циклов длины  $2L$  и веса  $w$ , где каждый цикл учтен дважды столько раз, сколько он имеет различных циклических сдвигов (в обоих направлениях).

Далее временно забудем об ограничении инверсии, так как для устранения путей эквивалентных относительно разворота достаточно разделить результирующий спектр на два.

Обозначим за  $g(l)$  — многочлен, коэффициент при  $D^w$  которого равен числу циклов длины и периода  $l$  веса  $w$ .

*Определение 18.* Введем операцию  $T_d(p(D))$  где  $p(D)$  — многочлен, а  $d$  — натуральное число как:

$$T_d(c_0 + c_1 D + c_2 D^2 + \dots + c_n D^n) = c_0 + c_1 D^d + c_2 D^{2d} + \dots + c_n D^{nd} \pmod{D^M}$$



Тогда при фиксированной длине  $L$  имеем равенство:

$$\sum_{d|L} d \cdot T_{\frac{L}{d}}(g(d)) = b_L$$

Равенство справедливо, так как каждый цикл длины  $L$  периода  $d$  веса  $W$  состоит из повторенного  $\frac{L}{d}$  раз цикла длины и периода  $d$  веса  $w$  такого, что  $w \cdot \frac{L}{d} = W \pmod{M}$  и однозначно им задается. Каждый такой цикл имеет  $d$  различных циклических сдвигов, поэтому учтен в  $b_L$   $d$  раз. Таким образом, суммирование ведется по всем возможным длинам периодов, после чего, благодаря  $T_{\frac{L}{d}}$ , вес каждого цикла из  $g(d)$  домножается на число повторений цикла для достижения длины  $L$ , и каждый из циклов учитывается с коэффициентом  $d$ , так как входит в  $b_L$  в виде  $d$  различных линейных последовательностей ребер.

В равенствах вида

$$f(n) = \sum_{d|n} g(d)$$

$g(d)$  может быть выражено с помощью формулы обращения Мебиуса [15]:

$$g(n) = \sum_{d|n} \mu(d) f(n/d)$$

где  $n = p_1^{e_1} \cdot p_2^{e_2} \cdot \dots \cdot p_r^{e_r}$  — разложение  $n$  на простые множители

$$\mu(n) = \begin{cases} 1 & \text{при } n = 1, \\ 0 & \text{если } \exists i \quad e_i > 1, \\ (-1)^r & \text{если } e_1 = e_2 = \dots = e_r = 1 \end{cases}$$

В рассматриваемом случае можно ввести и использовать следующее обобщение формулы Мебиуса:

*Теорема 19.* Если

$$f(n) = \sum_{d|n} T_{\frac{n}{d}}(g(d))$$

где  $T_k$  удовлетворяет свойствам:

$$T_k(c \cdot p(D)) = c \cdot T_k(p(D)) \tag{19}$$

$$T_k(p(D) + q(D)) = T_k(p(D)) + T_k(q(D)) \tag{20}$$

$$T_{k_1}(T_{k_2}(p(D))) = T_{k_1 \cdot k_2}(p(D)) \quad (21)$$

$$T_1(p(D)) = p(D) \quad (22)$$

Тогда  $g(d)$  может быть выражено:

$$g(n) = \sum_{d|n} \mu(d) T_d(f(n/d))$$

*Доказательство.* Для начала докажем следующую вспомогательную лемму:

*Лемма 20.*

$$\sum_{d|n} \mu(d) = 0 \quad \text{при } n > 1$$

*Доказательство.*

$$n = p_1^{e_1} \cdot p_2^{e_2} \cdot \dots \cdot p_r^{e_r}$$

$$n^* = p_1 \cdot p_2 \cdot \dots \cdot p_r$$

$$\sum_{d|n} \mu(d) = \sum_{d|n^*} \mu(d)$$

так как любое  $\mu(d)$ , где  $p_i^2 | d$  равно 0.

$$\sum_{d|n^*} \mu(d) = 1 - \binom{r}{1} + \binom{r}{2} - \dots + (-1)^k \cdot \binom{r}{k} + \dots = (1 - 1)^r = 0$$

поскольку существует  $\binom{r}{k}$  делителей  $n^*$ , состоящих из  $k$  простых множителей, каждый из которых внесет вклад  $\mu(d) = (-1)^k$ .  $\square$

$$\begin{aligned} & \sum_{d|n} \mu(d) \cdot T_d(f(n/d)) = \\ & \sum_{d|n} \mu(d) \cdot T_d\left(\sum_{d'|\frac{n}{d}} T_{\frac{n}{dd'}}(g(d'))\right) = \\ & \sum_{d|n} \mu(d) \cdot \sum_{d'|\frac{n}{d}} T_d(T_{\frac{n}{dd'}}(g(d'))) = \end{aligned}$$

$$\begin{aligned}
& \sum_{d|n} \mu(d) \cdot \sum_{d'|\frac{n}{d}} T_{\frac{n}{d'}}(g(d')) = \\
& \sum_{d|n} \sum_{d'|\frac{n}{d}} \mu(d) \cdot T_{\frac{n}{d'}}(g(d')) = \\
& \sum_{d'|n} \sum_{d|\frac{n}{d'}} \mu(d) \cdot T_{\frac{n}{d'}}(g(d')) = \\
& \sum_{d'|n} T_{\frac{n}{d'}}(g(d')) \cdot \sum_{d|\frac{n}{d'}} \mu(d) = \\
& T_{\frac{n}{n}}(g(n)) = T_1(g(n)) = g(n)
\end{aligned}$$

□

Нетрудно заметить, что операция  $T_d(p(D))$  из определения 18 удовлетворяет ограничениям из теоремы 19. Действительно, первые два свойства следуют из линейности кольца многочленов по модулю. Третье и четвертое свойства очевидно следуют из определения операции 18.

Таким образом, можно воспользоваться теоремой 19 для разрешения выражения 3.2 относительно  $g(L)$ . В качестве  $f(L)$  выступает  $b_L$ , а в качестве  $g(d)$  необходимо взять  $d \cdot g(d)$ , внося множитель  $d$  внутрь операции  $T_d$  согласно свойству один:

$$\begin{aligned}
L \cdot g(L) &= \sum_{d|L} \mu(d) T_d(b_{L/d}) \\
g(L) &= \frac{\sum_{d|L} \mu(d) T_d(b_{L/d})}{L}
\end{aligned}$$

Напомним, что  $g(L)$  содержит многочлен, коэффициент при  $D^w$  которого равен числу циклов длины и периода  $L$  веса  $w$ . Для более читаемой записи будем записывать полином  $g(L)$  как  $g_L(D)$ . Обозначим результирующую величину количества циклов длины  $L$  веса 0 с учетом эквивалентности относительно сдвига за  $C_L$ . Для подсчета величины  $C_L$  с помощью  $g_L$  необходимо произвести суммирование по всем возможным длинам периодов  $d$  в циклах длины  $L$  и весам  $w$  таким, что период повторенный  $\frac{L}{d}$  раз приведет к циклу нулевого веса:

$$C_L = \sum_{d|L} \sum_{\frac{w \cdot L}{d} = 0 \pmod{M}} g_d^{(w)}(0)$$

где  $g_d^{(w)}$  —  $w$ -ая производная  $g_d(D)$ , используемая для получения коэффициента при  $D^w$ .

Наконец, для устранения дубликатов относительно инверсии достаточно разделить  $C_L$  на два.

### 3.3. Алгоритм

**Вход:**  $A$  — матрица размера  $E \times E$  из мономов, где степень монома  $A_{ij}$  соответствует сумме весов ребра  $i$  и некоторого ребра  $k$  соответствующего переходу от ребра  $i$  к ребру  $j$ ;  $L_{\max}$  — максимальная интересующая длина цикла.

**Результат:**  $C$  — вектор длины  $L_{\max}$ ,  $i$ -ый элемент которого соответствует количеству циклов длины  $i$ .

```

1: function COUNTCYCLES( $A, L_{\max}$ )
2:    $E \leftarrow \text{SIZE}(A, 1)$ 
3:   for  $L \leftarrow [1; \lfloor \frac{L_{\max}}{2} \rfloor]$  do
4:     for  $i \leftarrow [0; E)$  do
5:        $a_0^i \leftarrow \underbrace{(0, 0, \dots, 0)}_{i \text{ раз}}, 1, 0, \dots, 0$ 
6:        $a_{2L}^i \leftarrow a_0^i \cdot A^L$ 
7:        $b_{2L} \leftarrow b_{2L} + a_{2L}^i$ 
8:     end for
9:      $g_{2L} \leftarrow 0$ 
10:    for  $d \leftarrow [1; 2L], d|2L$  do
11:       $g_{2L} \leftarrow g_{2L} + \mu(d) \cdot T_d(b_{2L/d})$ 
12:    end for
13:     $g_{2L} \leftarrow g_{2L}/2L$ 
14:    for  $d \leftarrow [1; 2L], d|2L$  do
15:      for  $w \leftarrow [0; M), \frac{w \cdot 2L}{d} = 0 \pmod{M}$  do
16:         $C_{2L} \leftarrow C_{2L} + g_d^{(w)}(0)$ 
17:      end for
18:    end for
19:  end for
20:  return  $C$ 
21: end function

```

Следует помнить, что переменные  $a_{2L}^i(D)$ ,  $b_{2L}(D)$ ,  $g_L(D)$  являются полиномами по модулю  $D^M$ , и операции сложения, деления и взятия производной обозначают общепринятые операции над полиномами.

### 3.4. Оценка сложности

Пусть исходная базовая матрица имела размер  $b \times c$ , а коэффициент расширения равен  $M$ . Для простоты будем рассматривать  $(J, K)$ -регулярный МППЧ код с весом столбцов и строк  $J$  и  $K$  соответственно.

Тогда число ребер в базовом графе Таннера обозначим за  $E_b = b \cdot K = c \cdot J$ . Ограничение на максимальную длину в спектре обозначим  $S$ .

Таким образом, размер матрицы  $A$  составляет  $E_b \times E_b$ , каждый из элементов которой представляет собой многочлен степени не больше  $M$ . И для получения всех интересующих  $A^L$ , посредством перемножения матриц, достаточно затратить  $O(S \cdot E_b^3 \cdot M)$  операций, так как перемножение и сложение многочленов по модулю  $D^M$  требует  $O(M)$  времени в отличии от  $O(1)$  для обычных чисел.

При каждом фиксированном стартовом ребре  $i$  и длине циклов  $2L$ , многочлен  $a_{2L}^i = a_0^i \cdot A^L$  (строка 6) может быть получен за время  $E_b^2 \cdot M$ , посредством перемножения вектора  $a_0$  длины  $E_b$  на матрицу  $A^L$  размера  $E_b \times E_b$ , опять же по причине того, что перемножение и сложение многочленов по модулю требует  $O(M)$  операций. Таким образом, суммарно получение всех необходимых  $a_{2L}$  займет время  $O(E_b \cdot S \cdot E_b^2 \cdot M) = O(S \cdot E_b^3 \cdot M)$ .

Сложение всех необходимых  $a_{2L}$  для получения  $b_{2L}$  (строка 7) может быть осуществлено за суммарный размер полиномов  $a$ , а именно  $O(E_b \cdot S \cdot M)$ .

Все необходимые значения функции Мебиуса  $\mu(d)$  могут быть подсчитаны за время  $O(S \cdot \ln S)$  с помощью решета Эратосфена. При оценке времени суммарно затраченного на подсчет  $g(L)$  заметим, что суммирование ведется по всем делителям чисел  $L$  от 1 до  $S$ . Как известно, суммарное количество делителей чисел от 1 до  $n$  имеет порядок  $O(n \cdot \ln n)$ . Действительно, число  $d$  является делителем для  $\lfloor \frac{n}{d} \rfloor$  чисел:  $d, 2d, 3d, \dots, \lfloor \frac{n}{d} \rfloor \cdot d$ . Получаем сумму гармонического ряда  $\sum_d \lfloor \frac{n}{d} \rfloor = O(n \cdot \ln n)$ . Таким образом, для подсчета всех  $g(L)$  необходимо затратить  $O(M \cdot S \cdot \ln S)$ , так как операция  $T_d$  и сложение многочленов степени  $M$  может быть осуществлено за  $O(M)$ .

Пользуясь оценкой суммы гармонического ряда для оценки вычисления выражения на строке 16 с учетом суммирования по весам, получаем время необходимое для подсчета  $C_L = O(M \cdot S \cdot \ln S)$ , так как теперь складываются коэффициенты многочлена, а не целые многочлены.

Итого по всем шагам алгоритма получаем:

$$O(S \cdot E_b^3 \cdot M) + O(S \cdot E_b^3 \cdot M) + O(E_b \cdot S \cdot M) + O(M \cdot S \cdot \ln S) + O(M \cdot S \cdot \ln S) =$$

$$O(S \cdot E_b^3 \cdot M) + O(M \cdot S \cdot \ln S) = O(M \cdot S \cdot \max(\ln S, E_b^3))$$

Очевидно, для всех разумных входных данных член  $E^3$  мажорирует  $\ln S$ . Таким образом, итоговая сложность:  $O(SME_b^3)$ .

### 3.5. Сравнение с другими алгоритмами

Проведем краткое сравнение с существующими алгоритмами подсчета числа циклов определенной длины. Ниже приведена сравнительная таблица асимптотики работы различных алгоритмов в сравнении с предложенным. Важной характеристикой алгоритмов являются длины циклов, число которых может быть подсчитано с помощью алгоритма. Преимуществом предложенного алгоритма является то, что он позволяет продолжить последовательность значений для больших длин, хотя и посредством нахождения числа схожих комбинаторных объектов, нежели непосредственно циклов. Возможность подсчета числа циклов произвольной длины позволит проверить критерий, предложенный в данной работе, при менее значимом различии в спектре различных кодов.

В таблице использованы следующие обозначения:  $g$  — обхват базового графа,  $\omega$  — показатель степени в матричном умножении,  $V_b$  и  $E_b$  — число вершин и ребер в базовом графе,  $S$  — максимальная интересующая длина циклов.

Первые два алгоритма значительно проигрывают предложенному в скорости. Третий алгоритм имеет сравнимое время работы, но не позволяет подсчитать число циклов для произвольной длины и проигрывает на практике в проводимом исследовании при  $M \geq 24$ .

Алгоритм	Длины циклов	Асимптотика
Alon, Yuster, Zwick [3]	3...7	$O((MV_b)^\omega)$
Hallfod, Chug [9]	$g, g + 2, g + 4$	$O(g(MV_b)^3)$
Karimi, Banihashemi [7]	$g, g + 2, \dots, 2g - 2$	$O(gM^2E_b^2)$
Предложенный алгоритм	$g, g + 2, \dots, S$	$O(SME_b^3)$

## ГЛАВА 4. ЧИСЛЕННЫЙ АНАЛИЗ ВЛИЯНИЯ СПЕКТРОВ ЦИКЛОВ НА ВЕРОЯТНОСТЬ ОШИБКИ ДЕКОДИРОВАНИЯ

Общий подход к генерации случайного регулярного МППЧ-кода состоит из следующих шагов:

- а) Выбор весов столбцов и строк базовой матрицы  $(J, K)$ . В исследовании будут рассмотрены  $(3,6)$  и  $(4,8)$ -регулярные МППЧ-коды, как наиболее применяемые на практике.
- б) Выбор размера базовой матрицы  $(n_b, r_b)$ . Размер должен удовлетворять соотношению  $J \cdot n_b = K \cdot r_b$  (два способа подсчитать число единиц в матрице — по строкам и по столбцам). В исследовании рассмотрен размер  $(24,12)$ , который удовлетворяет  $(3,6)$  и  $(4,8)$  с коэффициентам 4 и 3 соответственно.
- в) Выбор базовой матрицы из фиксированного ансамбля кодов. В исследовании рассмотрены ансамбли Галлагера, Ричардсона-Урбанке и квази-циклических кодов.
- г) Выбор размера результирующего кода после лифтинга. В исследовании рассмотрены размеры 576 и 2304, используемые в стандарте 802.16e WiMAX. Коэффициенты лифтинга  $M = 24$  и  $M = 96$  соответственно.
- д) Разметка базовой матрицы весами по модулю  $M$ . Все разметки приняты равновероятными.

### 4.1. Описание эксперимента

После исследования некоторых гипотез было решено остановиться на одной из самых простых, которая состоит в следующем:

*Гипотеза 21.* Код со спектром циклов графа Таннера лексикографически меньшим спектра циклов графа Таннера другого кода статистически более эффективен, имеет меньшую вероятность ошибки на блок при фиксированном отношении сигнал-шум. Более формально — достигает вероятности ошибки на блок  $10^{-3}$  при меньшем отношении сигнал-шум.

Стандартный подход построения графика вероятности ошибки на блок от отношения сигнал-шум для кода дает наглядное представление об эффективности кода, но не может быть формально использован для сравнения эффективности двух кодов.

Для сравнения эффективности вводится следующая величина  $F$ : отношение сигнал-шум при котором кодом впервые достигается вероятность ошибки

на блок не менее  $10^{-3}$ . Такой способ сравнения был использован, например, в работе [16].

В первую очередь проведем статистическую проверку гипотезы без фиксированного префикса спектра циклов графа Таннера, после чего проведем проверку гипотезы в более строгих условиях — нескольких зафиксированных первых значениях спектра.

#### 4.1.1. Проверка гипотезы без ограничений на спектр

Исследование было проведено на трех различных ансамблях: Ричардсона-Урбанке, Галлагера и ансамбле квазициклических кодов, двух фиксированных наборах весов: базовых матриц (3,6) и (4,8), размере базовой матрицы  $24 \times 12$  и двух размерах матриц после лифтинга: с параметром  $M = 24 - 576 \times 288$  и  $M = 96 - 1157 \times 2304$ .

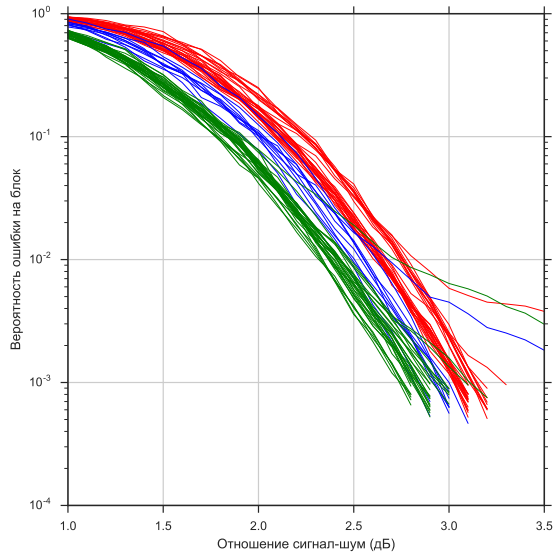
Каждым способом было сгенерировано  $10^6$  базовых матриц, после чего был произведен отбор трех с лучшим спектром, трех с худшим и десяти случайных. Базовые матрицы с лучшим и худшим спектром были размечены случайным образом десять раз. Случайные матрицы были размечены один раз. После чего был построен график вероятности ошибки от отношения сигнал-шум, представленные ниже.

Каждая линия на графике представляет один код. Линии, представленные зеленым цветом, соответствуют кодам с лучшим спектром базовой матрицы согласно гипотезе. Линии представленные красным цветом соответствуют кодам с худшим спектром базовой матрицы согласно гипотезе. Синие линии представляют собой случайно сгенерированные базовые матрицы для сравнения с кодами, отобранными по гипотезе.

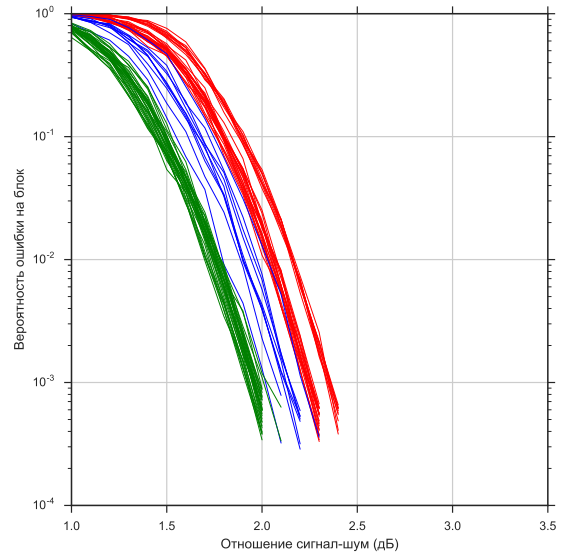
Визуально на графиках становится понятно, что коды с лучшим спектром имеют меньшую вероятность ошибки на блок, чем случайные или коды с худшим спектром, а случайные коды ведут себя лучше, чем коды с худшим спектром.

Проверим формально с помощью критерия Стьюдента влияние спектра на эффективность декодирования. В качестве случайной величины будем использовать  $F$  — отношение сигнал-шум для достижения вероятности  $10^{-3}$ . В качестве нулевой гипотезы  $H_0$  предположим, что спектр не влияет на эффективность декодирования, тогда, отвергнув нулевую гипотезу и исходя из того, что в среднем коды с лучшим спектром эффективнее кодов с худшим, можно

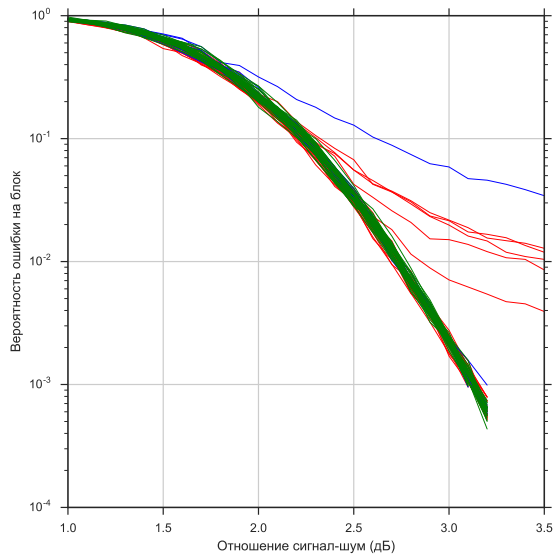




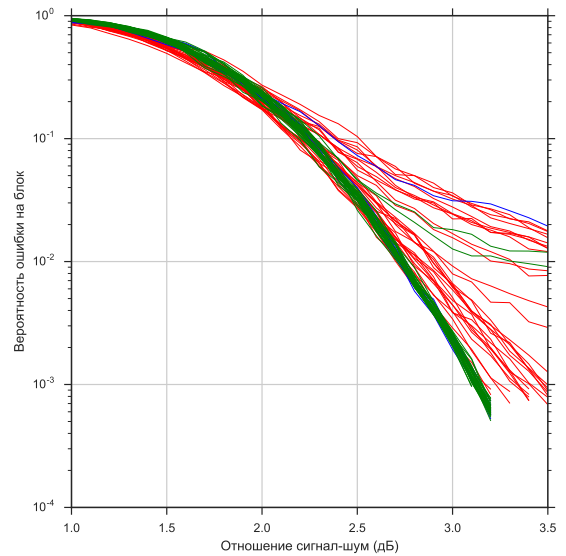
(a) Ричардсон-Урбанке 4x8 576



(b) Ричардсон-Урбанке 4x8 2304



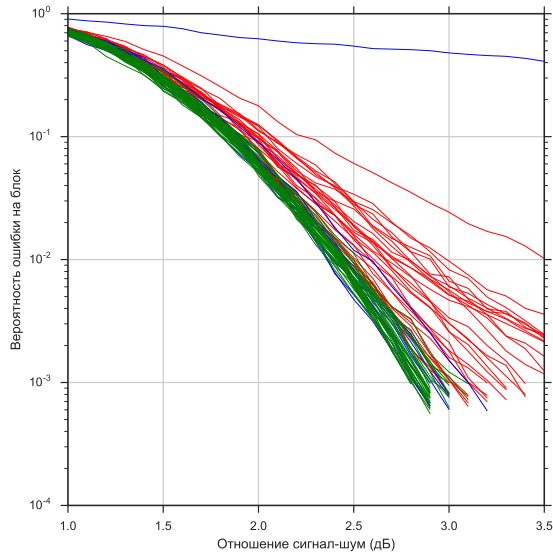
(c) Галлагер 4x8 576



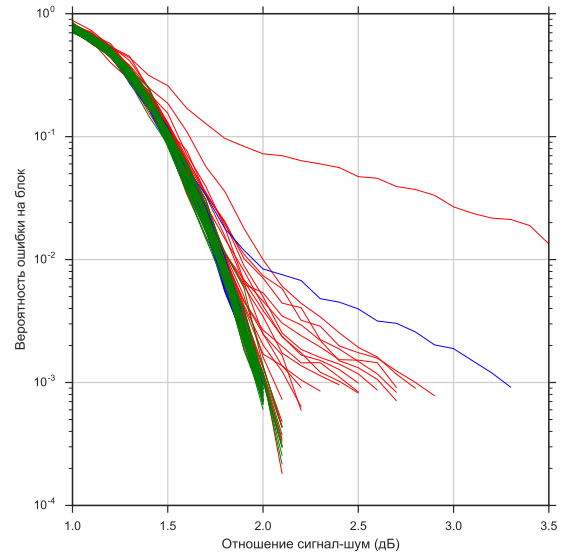
(d) Квазициклические коды 4x8 576

Рисунок 7 – Графики вероятности ошибки для кодов веса  $4 \times 8$ 

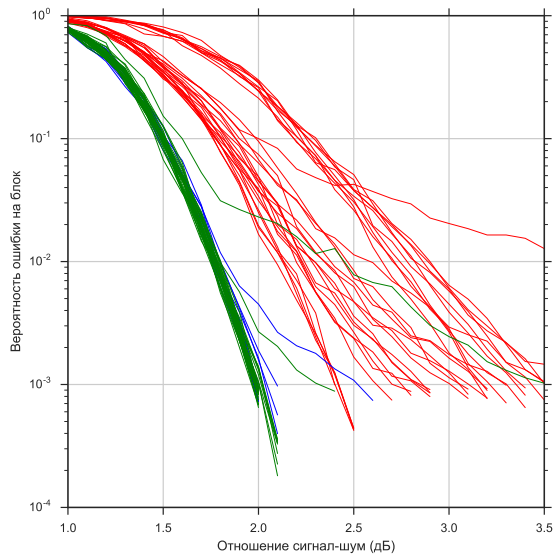
принять как альтернативную гипотезу  $H_1$ , выдвинутую ранее гипотезу. Также можем допустить, что выборка случайная, однородная, независимая и имеет распределение близкое к нормальному. В силу того, что дисперсии заранее неизвестны и могут быть различны для различных кодов, будем использовать критерий Кохрена-Кокса для взвешенной оценки степени свобод распределения Стьюдента.



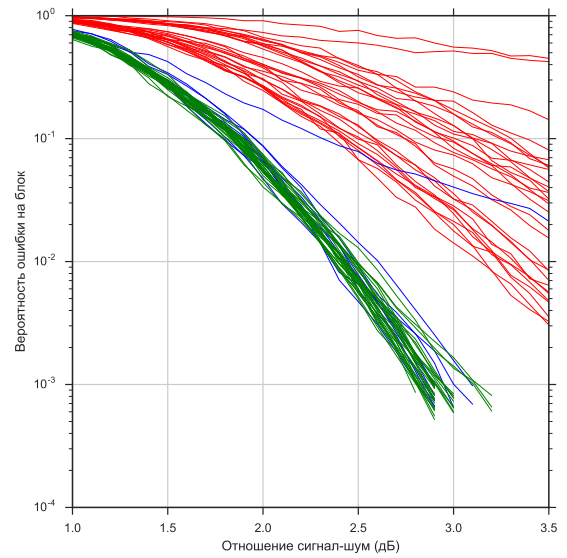
(a) Галлагер 3x6 576



(b) Галлагер 3x6 2304



(c) Квазициклические коды 3x6 2304



(d) Квазициклические коды 3x6 576

Рисунок 8 – Графики вероятности ошибки для кодов веса  $3 \times 6$ 

Введем вспомогательные обозначения:

$\{x_i\}$ ,  $\{y_i\}$  — наборы значений  $F$  размеров  $m$  и  $n$  для кодов с худшим и лучшим спектром соответственно.

$$\begin{cases} \bar{x} = \frac{1}{m} \sum_{i=1}^m x_i \\ \bar{y} = \frac{1}{n} \sum_{i=1}^n y_i \end{cases} \quad \text{выборочные средние}$$

$$\begin{cases} s_x^2 = \frac{1}{m-1} \sum_{i=1}^m (x_i - \bar{x})^2 \\ s_y^2 = \frac{1}{n-1} \sum_{i=1}^n (y_i - \bar{y})^2 \\ s^2 = \frac{1}{m} s_x^2 + \frac{1}{n} s_y^2 \end{cases} \quad \text{выборочные дисперсии}$$

$t_\alpha(f)$  – распределение Стьюдента с  $f$  степенями свободы.

$$\begin{cases} \nu_x = \frac{s_x^2}{m} \\ \nu_y = \frac{s_y^2}{n} \\ t_\alpha = \frac{\nu_x t_{\alpha(m-1)} + \nu_y t_{\alpha(n-1)}}{\nu_x + \nu_y} \end{cases} \quad \text{критерий Кохрена-Кокса}$$

$t = \frac{\bar{x} - \bar{y}}{s}$  – статистика критерия Стьюдента

Таким образом, для опровержения нулевой гипотезы при сравнении двух выборочных средних необходимо показать, что  $t > t'_{\alpha/2}$ .

Приведем для справки значения  $t'_{\alpha/2}$  для некоторых уровней значимости при фиксированных размерах выборки  $n = 30, m = 30$ .

$\alpha$	$t'_{\alpha/2}$
0.0001	4.50
0.001	3.65
0.01	2.75
0.05	2.04
0.1	1.69

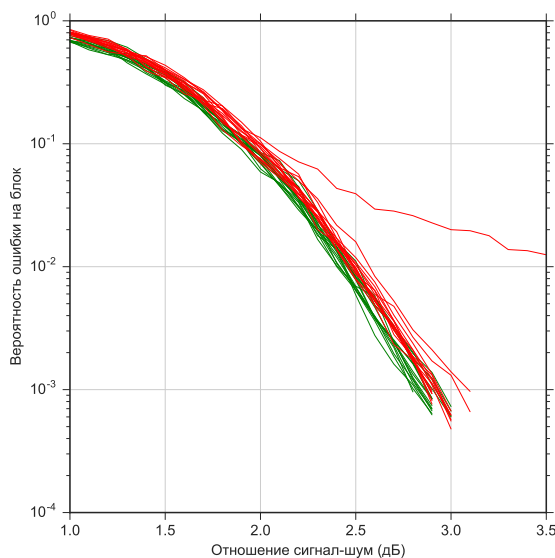
Теперь приведем таблицу значений статистик для различных ансамблей кодов.

Ансамбль кодов	$t$	Уровень значимости $\alpha$
Ричардсон-Урбанке 4x8 576	4.50	$\alpha = 0.0001$
Ричардсон-Урбанке 4x8 2304	29.7	$\alpha < 0.0001$
Галлагер 4x8 576	2.57	$\alpha \approx 0.01$
Квазициклические коды 4x8 576	8.53	$\alpha < 0.0001$
Галлагер 3x6 576	6.57	$\alpha < 0.0001$
Галлагер 3x6 2304	3.32	$\alpha \approx 0.005$
Квазициклические коды 3x6 2304	9.92	$\alpha < 0.0001$
Квазициклические коды 3x6 576	12.92	$\alpha < 0.0001$

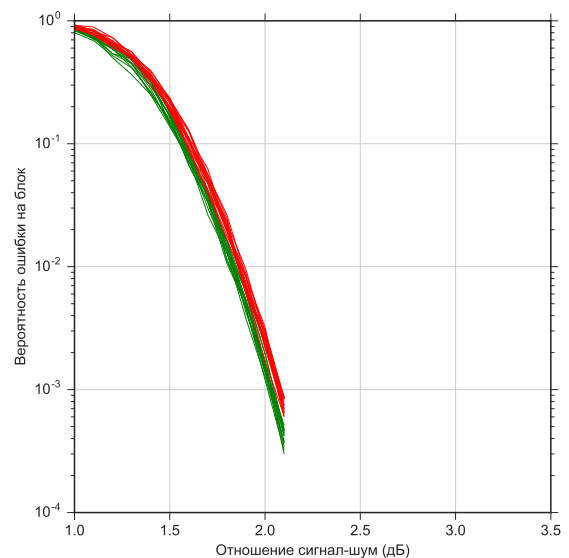
Таким образом, из таблицы видна несостоятельность нулевой гипотезы, что подтверждает выдвинутую альтернативную гипотезу без ограничений на спектр.

#### 4.1.2. Проверка гипотезы с фиксированным префиксом спектра

Рассмотрим гипотезу при некотором фиксированном префиксе. Например, сгенерируем несколько кодов, спектр которых имеет одинаковый префикс. Так, спектр следующих кодов составляет  $C_4 = 63, C_6 = 622, C_8 = 6961, C_{10} = 83856$ , но имеет различное количество циклов длины 12, а именно: первый имеет  $C_{12} = 1068487$ , а второй  $C_{12} = 1070468$ . (Следует отметить, что без обращения Мебиуса и удаления дубликатов, первый из кодов имел бы больше циклов длины 8, чем второй из кодов и критерий бы не выполнялся.)



(а) Размер кода 576



(б) Размер кода 2304

Рисунок 9 – Два различных кода с одинаковым префиксом спектра

Критерий Стьюдента для такого набора составляет  $t = 2.28$  и  $t = 10.53$  для размеров 576 и 2304 соответственно. Это дает уровень значимости  $\alpha = 0.05$  и  $\alpha < 0.0001$  соответственно.

Однако, данное измерение свидетельствует только о том, что коды с заданным фиксированным префиксом имеют статистическую зависимость эффективности от  $C_{12}$ . Для демонстрации зависимости на всем ансамбле необходимо брать пары кодов, префиксы которых равны между собой, но не обязательно равны между парами.

Некоторым аналогом эксперимента для развития интуиции о исследовании может являться эксперимент с лечением пациентов некоторым препаратом, когда измерения необходимо проводить на каждом пациенте до приме-

нения и после. Аналогом пациента в данном случае будет являться некоторый фиксированный префикс. Измерения после лечения — коды с меньшим числом циклов минимальной длины, не входящей в фиксированный префикс. Измерения до лечения — коды с большим числом циклов. Однако, так как префикс кодов гораздо более сильно влияет на эффективность кодов, чем количество текущих циклов, измерения будут сильно отличаться: некоторые коды «до лечения» с хорошим префиксом будут сильно лучше кодов «после лечения» с плохим префиксом. Таким образом, коды нужно отнормировать. Среднее значение величины  $F$  по набору кодов с фиксированным префиксом будет смещаться в 0. Для достаточно точного нахождения среднего каждый набор с фиксированным префиксом будет содержать по крайней мере 10 кодов. Дисперсию в разных группах будем считать одинаковой.

Для проведения исследования было сгенерировано  $10^6$  кодов ансамбля Ричардсона-Урбанке  $4 \times 8$ . Сначала все коды были разделены на группы с одинаковым префиксом спектра длины 1, затем длины 2, 3 и 4. Для каждой длины были отобраны 7 групп наибольшего размера, затем в каждой группе выбрано 3 кода с минимальным числом циклов минимальной незафиксированной длины и 3 кода с максимальным. Каждый из них был 5 раз случайно размечен до размера 2304. В случае длины 4 максимальный размер группы кодов с различным спектром составлял 2, поэтому для каждого из них было сгенерировано по 15 случайных разметок.

После моделирования, получены следующие значения критерия Стьюдента:

Длина префикса	$t$	Уровень значимости $\alpha$
0	29.7	$\alpha < 0.0001$
1	5.05	$\alpha < 0.0001$
2	4.28	$\alpha < 0.0001$
3	3.05	$\alpha \approx 0.005$
4	3.36	$\alpha = 0.001$

Таблица наглядно демонстрирует, что можно отвергнуть нулевую гипотезу также в случае, когда первое различие при лексикографическом сравнении спектров выпадает на второе, третье, четвертое или пятое значение. Причем, явно видно, что зависимость убывает при переходе к большей длине префикса. Исключением является длина 4, так как не удалось получить достаточное ко-

личество кодов в группе с различными спектрами, но одинаковым префиксом длины 4, поэтому значение критерия немного смещено.

Таким образом, гипотеза о лексикографическом сравнении спектров для оценки эффективности может быть принята и использована при поиске МППЧ-кодов.

## ЗАКЛЮЧЕНИЕ

- а) В данной работе был сформулирован критерий оценки эффективности МППЧ-кода на основе спектра циклов графа Таннера.
- б) Разработан алгоритм подсчета спектра графа Таннера.
- в) Для проведения исследования реализован итеративный декодер на основе архитектуры CUDA согласно алгоритму суммирования произведений в терминах логарифмов. Разработанный декодер позволил существенно сократить время исследования. На данный момент является общедоступным на [github.com](https://github.com)
- г) На основе анализа большого числа кодов из различных ансамблей было продемонстрировано, что в среднем код, имеющий лексикографически меньший спектр, имеет меньшую вероятность ошибки на блок, то есть более эффективен.
- д) Представленный критерий и алгоритм его подсчета может быть использован для ускорения поиска хороших МППЧ-кодов.

**СПИСОК ИСПОЛЬЗОВАННЫХ ИСТОЧНИКОВ**

- 1 *Yedidia J., Freeman W., Weiss Y.* Understanding Belief Propagation and its Generalizations: tech. rep. / Mitsubishi electric research laboratories. — 11/2001. — No. 2001–22.
- 2 *Кудряшов Б.* Основы теории кодирования. — БХВ-Петербург, 2016. — 400 с.
- 3 *Alon N., Yuster R., Zwick U.* Finding and counting given length cycles // *Algorithmica*. — 1997. — P. 209–223.
- 4 *Harray F., Manvel B.* On the number of cycles in a graph // *Matematicky casopis*. — 1971. — Vol. 21, no. 1. — P. 55–63.
- 5 *Monien B.* How to find long paths efficiently // *Annals of Discrete Mathematics*. — 1985. — No. 25. — P. 239–254.
- 6 *Alon N., Yuster R., Zwick U.* Color-coding // *Journal of the ACM*. — 1995. — No. 42. — P. 844–856.
- 7 *Karimi M., Banihashemi A.* A message-passing algorithm for counting short cycles in graph // *IEEE Transactions on Communications*. — 2013. — Vol. 61, issue 2. — P. 485–495.
- 8 *Karimi M., Banihashemi A.* Counting short cycles of quasi cyclic protograph LDPC-codes // *IEEE Communications Letters*. — 2012. — Mar. — Vol. 16, issue 3. — P. 400–403.
- 9 *Halford T., Chugg K.* An algorithm for counting short cycles in bipartite graphs // *IEEE Transactions on Information Theory*. — 2006. — Jan. — Vol. 52, issue 1. — P. 287–292.
- 10 *Vukobratovic D., Senk V.* Generalized ACE constrained progressive edge-growth LDPC code design // *IEEE Communications Letters*. — 2008. — Vol. 1, no. 12. — P. 32–34.
- 11 *Karimi M., Banihashemi A.* An Efficient Algorithm for Finding Dominant Trapping Sets of LDPC Codes // *IEEE Transactions on Information Theory*. — 2012. — Vol. 58, issue 11. — P. 6942–6958.
- 12 *Gallager R.* Low-Density Parity-Check Codes. — Massachusetts: MIT Press, 1963. — 90 p.



- 13 Stressing the BER simulation of LDPC codes in the error floor region using GPU clusters / G. Falcao [et al.] // Proceedings of the Tenth International Symposium on Wireless Communication Systems. — 2013.
- 14 *Broulim J., Ayriyan A., Georgiev V.* OpenCL/CUDA algorithms for parallel decoding of any irregular LDPC code using GPU. — arXiv: 1609.01567 [cs.IT].
- 15 *Холл М.* Комбинаторика. — Издательство «Мир» Москва, 1970. — 424 с.
- 16 *Kudryashov B., Bocharova I.* Binary images of nonbinary LDPC codes for WiMAX scenario: tech. rep. — 01/2016.